



دانشگاه آزاد اسلامی واحد اهر  
فصلنامه علمی فضای جغرافیایی

سال نوزدهم، شماره ۶۶  
تابستان ۱۳۹۸، صفحات ۱۶۳-۱۳۹

\*شهرام بهرامی<sup>۱</sup>  
محمدعلی زنگنه اسدی<sup>۲</sup>  
ابراهیم تقوی مقدم<sup>۳</sup>

## ارزیابی تأثیر مورفومتری شبکه زهکشی بر نرخ رسوب و فرسایش حوضه‌های آبریز (نمونه موردی: ۱۵ حوضه در شمال شرق ایران)

تاریخ پذیرش: ۱۳۹۶/۱۱/۰۸

تاریخ دریافت: ۱۳۹۶/۰۵/۰۷

### چکیده

آگاهی از نرخ رسوب و فرسایش در حوضه‌های آبریز و عوامل موثر در آن از مهم‌ترین دغدغه‌ها و چالش‌های فراروی متخصصان علوم زمین به‌ویژه ژئومورفولوژیست‌هاست. پارامترهای مورفومتری شبکه زهکشی نقش بسیار تعیین‌کننده‌ای در نرخ رسوب حوضه‌ها دارد. در این تحقیق به منظور ارزیابی همبستگی شاخص‌های مورفومتری شبکه زهکشی در نرخ رسوب سالانه، از مدل رقومی ارتفاعی (DEM)، نقشه‌های توپوگرافی رقومی، نقشه‌های زمین‌شناسی و آمار و اطلاعات دبی و رسوب ۱۵ حوضه آبریز در شمال شرق کشور استفاده شد؛ و شاخص‌های ژئومورفومتری مانند تراکم زهکشی (Dd)، فرکانس زهکشی (FD)، بافت زهکشی (T)، تراکم گسل (Df) طول آبراهه‌ها (BL)، نسبت انشعابات (Rb)، تعداد ناهنجاری سلسله مراتبی (Ha)، شاخص ناهنجاری سلسله مراتبی ( $\Delta a$ )، تراکم ناهنجاری سلسله مراتبی (Ga)، زمان تمرکز (Tc) و واحدهای حساس به فرسایش (E) برای هر یک از حوضه‌ها در محیط نرم‌افزار Arc GIS 10.5 محاسبه شد. با استفاده از روش Ciccacci, et al (1987) نرخ رسوب سالانه هر یک از حوضه‌ها برآورد شد. جهت اعتبار سنجی مدل از داده‌های رسوب سازمان آب منطقه‌ای استفاده و نرخ رسوب سالانه رسوب حوضه‌ها با منحنی سنجه

E-mail: sh\_Bahrami@sbu.ac

\* ۱- گروه ژئومورفولوژی دانشکده علوم زمین دانشگاه شهید بهشتی تهران. (نویسنده مسئول).

۲- گروه ژئومورفولوژی دانشکده جغرافیا و علوم محیطی دانشگاه حکیم سبزواری.

۳- دانش‌آموخته دکتری ژئومورفولوژی دانشکده جغرافیا و علوم محیطی دانشگاه حکیم سبزواری.

رسوب به دست آمد. سپس با استفاده از ضریب همبستگی پیرسون در محیط نرم افزار SPSS 17، ارتباط شاخص های ذکر شده با نرخ رسوب سالانه بر حسب  $\text{ton/km}^2$  محاسبه شد. طبق بررسی های انجام شده: شاخص های  $Tc$ ،  $A$ ،  $E$ ،  $Ha$ ،  $\Delta a$ ،  $BL$  به ترتیب با  $0/274$ ،  $0/226$ ،  $0/118$ ،  $0/117$  و  $0/107$  همبستگی ناچیزی با نرخ رسوب سالانه دارند و در سایر پارامترها نیز هیچ گونه ارتباط معناداری وجود ندارد. نتایج تحقیق نشان می دهد روش Ciccacci, et al (1987) روش مناسبی برای برآورد نرخ رسوب سالانه در حوضه های تحقیق نیست و عوامل دیگری مانند نرخ بارش سالانه، شدت بارش، وضعیت خاک و کاربری اراضی در نرخ رسوب سالیانه این حوضه ها تاثیر بیش تری دارند که حتما باید لحاظ شود.

**کلید واژه ها:** حوضه آبریز، رسوب معلق سالانه، مورفومتری، همبستگی.

#### مقدمه

حوضه آبریز واحدی است که یک استقلال و همگرایی در آن حاکم است و به عنوان بستر فرآیندهای درونی و بیرونی میدان کار بسیاری از محققان و دانشمندان علوم زمین می باشد (Chorly, 1969: 85). در این میان شبکه زهکشی به عنوان شریان های حیاتی حوضه ها باعث تغییر و تحولات عمده ای در مکانیسم حوضه ها می شوند. مهم ترین متغیرهای مورفومتری حوضه آبریز عبارتند از متغیرهای مربوط به شکل حوضه از جمله: مساحت، محیط، گردواری و...، پارامترهای های مربوط به شبکه زهکشی مانند طول آبراهه، تراکم زهکشی و ضریب انشعابات و پارامترهای مربوط به لیتولوژی و خطواره های زمین شناسی حوضه ها که تقریباً بر همه مولفه ها تأثیر گذارند و در نهایت دبی جریان و دبی رسوب و فرسایش خاک که به عنوان خروجی حوضه شناخته می شود. پارامترهای مورفومتری حوضه آبریز شاخص های بسیار مناسب برای تحلیل فرآیندهای ژئومورفولوژیکی هستند. مطالعات فرسایش و تولید رسوب از مهم ترین تحقیقاتی هستند که به منظور اجرای برنامه های حفاظتی آب و خاک، کاهش فرسایش، تغییر هیدرولیک جریان رودخانه ها و همچنین جلوگیری از کاهش گنجایش دریاچه سدهای مخزنی، توسط متخصصان علوم زمین و به خصوص ژئومورفولوژیست ها انجام می گیرد. با تشدید فرسایش در بالادست حوضه اغلب سدها قسمت اصلی خود در توانایی ذخیره آب خود را در طی ۲۵-۳۰ سال از دست می دهند (Rangzan et al., 2008: 123). اگر چه از دیدگاه زیست محیطی نمی توان از نقش رسوبات معلق در انتقال مواد غذایی، سموم و سایر آلاینده ها چشم پوشی کرد. با این حال مسئله فرسایش و رسوب در کشور ایران به عنوان یک معضل اساسی شناخته شده و تمامی سازمان های ذی ربط سعی در کاهش فرسایش و کنترل بار رسوبی رودخانه ها دارند. بررسی های انجام شده در کشور ما نشان می دهد که از سال (۱۳۳۰) تا (۱۳۷۸) فرسایش خاک رشدی حدود ۴۵۰ درصد داشته است که نشان دهنده ی یک فاجعه ی عظیم در سرزمین ماست (Ahmadi, 2007: 233). بار رسوبی عبارتند از کل رسوب خروجی از یک حوضه که مقدار آن در یک نقطه مرجع و در یک دوره زمانی خاص قابل اندازه گیری باشد (Vanoni, 1975: 27). در حالت کلی برآورد تولید

رسوب کل (مجموع بار بستر و بار معلق) غیرممکن است (Hakimkhani & Arab Khedri, 2006: 223) از طرف دیگر در اکثر حوضه‌ها بار معلق قسمت عمده بار کل را تشکیل می‌دهد و بار بستر عمدتاً از فرسایش رودخانه‌ای ناشی می‌شود بدین جهت تولید رسوب معلق در ارتباط نزدیک با فرسایش خاک قرار دارد (Vanoni, 1975: 27).

در کشور ایران اندازه‌گیری بار معلق رودخانه‌ها بر اساس برنامه‌ای منظم از سال (۱۳۴۳) آغاز شده است به نحوی که تعداد ایستگاه‌های هیدرومتری در سال (۱۳۷۵) تعداد ۷۱۵ بوده که این رقم در سال (۱۳۸۵) به ۱۹۷۶ ایستگاه رسیده است (IWRMC, 2008: 8). بدیهی است که میزان رسوب رودخانه‌ها در مناطق خشک و نیمه‌خشک با توجه به ویژگی‌های فرسایشی حوضه‌های بالادست بسیار بالا است (Rangzan et al., 2008: 124). فرسایش خاک به پستی و بلندی، خاک، آب، پوشش گیاهی و هوا بستگی دارد، اما بار رسوبی به خصوصیات ژئومورفومتری حوضه، کاربری اراضی حوضه، شکل و تراکم شبکه زهکشی بستگی دارد (Walling, 1994: 40) از میان عوامل یاد شده عوامل هیدرومورفومتری حوضه آبریز از مهم‌ترین عواملی است که میزان بار رسوبی رودخانه را به شدت تحت تاثیر قرار می‌دهد (Montgomery, Brandon, 2002: 482). حوضه‌های آبریز شمال شرق کشور دارای اقلیم خشک و نیمه‌خشک هستند که دارای دبی رسوبی بالایی می‌باشند. با توجه به نیاز آبی دشت‌های پایین دست و ایجاد سازه‌های هیدرولیکی، بحث فرسایش و رسوب همواره یکی از دغدغه‌های مهندسان و متولیان مدیریت آب کشور بوده است. در این زمینه مطالعات گسترده‌ای در سراسر جهان انجام شده است.

مطالعات مربوط به ویژگی‌های کمی حوضه آبریز و تاثیر آن در فرایندهای ژئومورفولوژیکی بیش تر بر موضوعاتی چون تکتونیک (Alexander, Montgomery & Brandon, 2002, Keller, 1986, Hurtrez et al., 1999)، سیل خیزی (Strahler, 1959, Harrison, 2000, Gupta and Waymire, 1980, Harlin, 1984)، فرسایش رسوب (Montgomery, 2002) استوار بوده است. Leopold & Langbein (1962) رابطه بین بارش موثر و محصول رسوبی را بررسی کرده است Leopold & Wolman (1957) در تحقیق دیگر رابطه شیب، دبی و فرم رودخانه را مورد بررسی قرار داده است. Suresh et al (2004) در تحقیقی با هدف اولویت بندی زیر حوضه‌های یک حوضه آبخیز، ویژگی‌های مورفومتری زیرحوضه‌ها را با توجه به نرخ رسوب آن‌ها مورد ارزیابی قرار داده است. بدین منظور زیر حوضه‌هایی، واجد آمار رسوب بلندمدت را انتخاب نموده سپس رابطه بین رسوب حوضه و ویژگی‌های مورفومتری حوضه را مشخص نموده است و به عنوان نتیجه، رابطه مساحت حوضه و نوع سازند حوضه را رابطه‌ای خطی و مثبت معرفی نموده است. Aksoy & Kavvas (2005) تک تک روش‌های مرسوم برآورد رسوب را به کار برده و ویژگی‌های مورفومتری حوضه آبریز و به طور اخص نقش ویژگی‌های دامنه و توپوگرافی حوضه‌ها در نرخ رسوب و فرسایش تعیین کننده می‌داند. Restrepo et al (2006) به بررسی عوامل کنترل کننده رسوب در حوضه زهکشی مگدونلا واقع در کلمبیا پرداخته و با استفاده از ویژگی‌های مورفومتری زیرحوضه‌ها، اقدام به اولویت بندی زیرحوضه‌ها بر اساس میزان رسوب نموده است. DiBiase et al (2010) به ارزیابی نقش فرم چشم انداز در نرخ رسوب سالانه با استفاده از

روش‌های مورفومتری و  $^{10}\text{Be}$  پرداخته‌اند. Zhang et al (2015) با ایجاد ارتباط بین مشخصات ژئومورفومتریک و میزان رسوب در فلات لويس چین پرداخته و با استفاده از روش PLSR عنوان نموده است که شکل حوضه و ضریب Relief تاثیر بسیار مهمی در نرخ رسوب سالانه حوضه دارد. (Tuseta et al (2016) به بررسی عواملی چون بارش و رواناب و نقش آن‌ها در میزان رسوب در حوضه زهکشی سالاداه در کوه‌های آلپ پرداخته است و با بررسی ویژگی‌های کمی حوضه آبریز، نقش این دو عامل در افزایش نرخ رسوب سالانه بسیار موثر می‌داند.

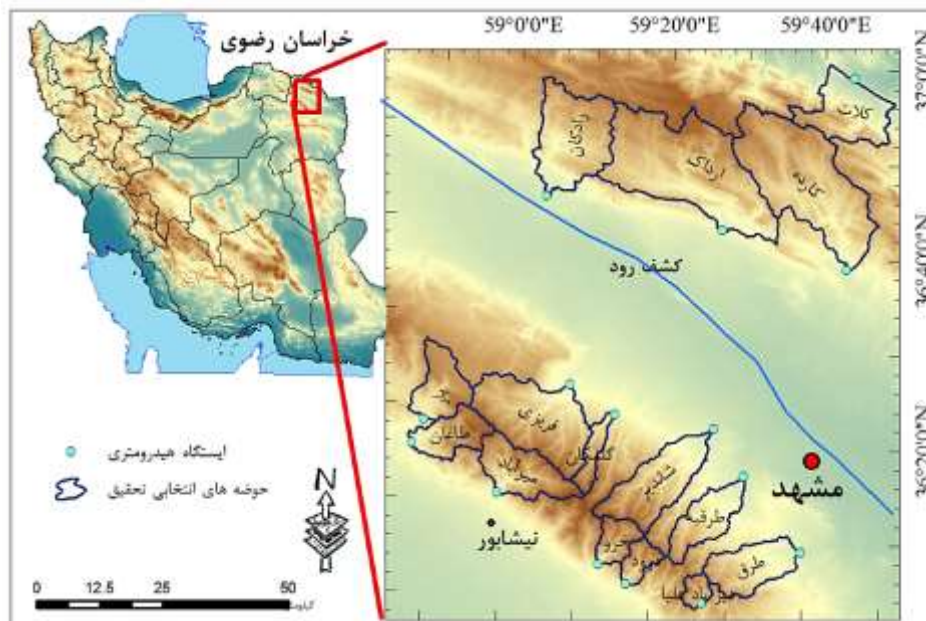
در ایران تاکنون مطالعه جامع و کاملی به‌جز مطالعات (Hakimkhani & Arab Khedri (2006) در مورد نقش ویژگی‌های مورفومتری در نرخ رسوب معلق صورت نگرفته است. (Onagh and Nahtani(2004) رابطه واحدهای ژئومورفولوژی و فرسایش و رسوب در حوضه آبخیز کاشیدار (گرگان رود) را مورد ارزیابی قرار داده و با استفاده از رخساره واحد ژئومورفولوژی و روش ام‌پسیاک، این رابطه را با رگرسیون  $0/04$  معنی‌دار اعلام نموده‌اند. Shariajafari and Ghyomiyan (2005) به بررسی رابطه رسوب حوضه با گسیختگی شیب و رانش زمین در حوضه طالقان مرکزی پرداخته و حوضه مزبور را به ۸ زیرحوضه تقسیم نموده و عامل حرکات توده‌ای را در افزایش رسوب‌زدایی حوضه کاملاً موثر معرفی کرده‌اند. (Jokarsarhangi et al (2009) با استفاده از ویژگی‌های کمی حوضه‌های آبریز اقدام به مدل‌سازی سیلاب در حوضه‌های دامنه شمالی البرز نموده‌اند (Bomeri et al (2011) با استفاده از ویژگی‌های کمی حوضه آبریز مانند مساحت و محیط، شکل، شیب و زمان تمرکز در پهنه‌های سیلابی در حوضه دامن را شناسایی نموده‌اند. (Darabi et al (2016) با استفاده از پارامترهای مورفومتریک و به‌کار بردن روش تحلیل خوشه‌ای به طبقه‌بندی زیر حوضه‌های حوضه آبریز پل دوآب شازند پرداخته‌اند. (Fathizad et al (2016) به بررسی نقش سازندهای زمین‌شناسی در فرسایش حوضه و بار رسوبی رودخانه دویرج استان لرستان پرداخته و با استفاده از معادله نسبت تحویل رسوب، مقدار فرسایش هر زیرحوضه را محاسبه نموده‌اند. هدف این مطالعه ارزیابی نقش عوامل ژئومورفومتری شبکه زهکشی در بار رسوبی رودخانه‌ها می‌باشد. جامعه آماری این مقاله ۱۵ حوضه آبخیز در شمال‌شرق کشور است با این شرط که دارای یک ایستگاه هیدرومتری (رسوب‌سنجی) در نقشه خروجی حوضه باشد و همچنین دارای آمار بلندمدت دبی و رسوب سالانه باشد.

#### معرفی منطقه مورد مطالعه

حوضه‌های مورد مطالعه در این تحقیق در چهارگوش مختصاتی عرض جغرافیایی  $35^{\circ} 55'$  تا  $37^{\circ} 12'$  و طول جغرافیایی  $59^{\circ} 06'$  و  $59^{\circ} 32'$  شامل حوضه‌های آبریز دیزباد علیا، دررود، خرو، میرآباد، طاغان، بار متعلق به حوضه آبریز دشت کویر و حوضه‌های فریزی، گلمکان، شاندیز، طرهبه، طوق، کارده، ارداک و رادکان متعلق به حوضه آبریز کشف رود و حوضه آبخیز کلات نیز متعلق به حوضه برون‌مرزی قره‌قورم می‌باشد (شکل ۱).

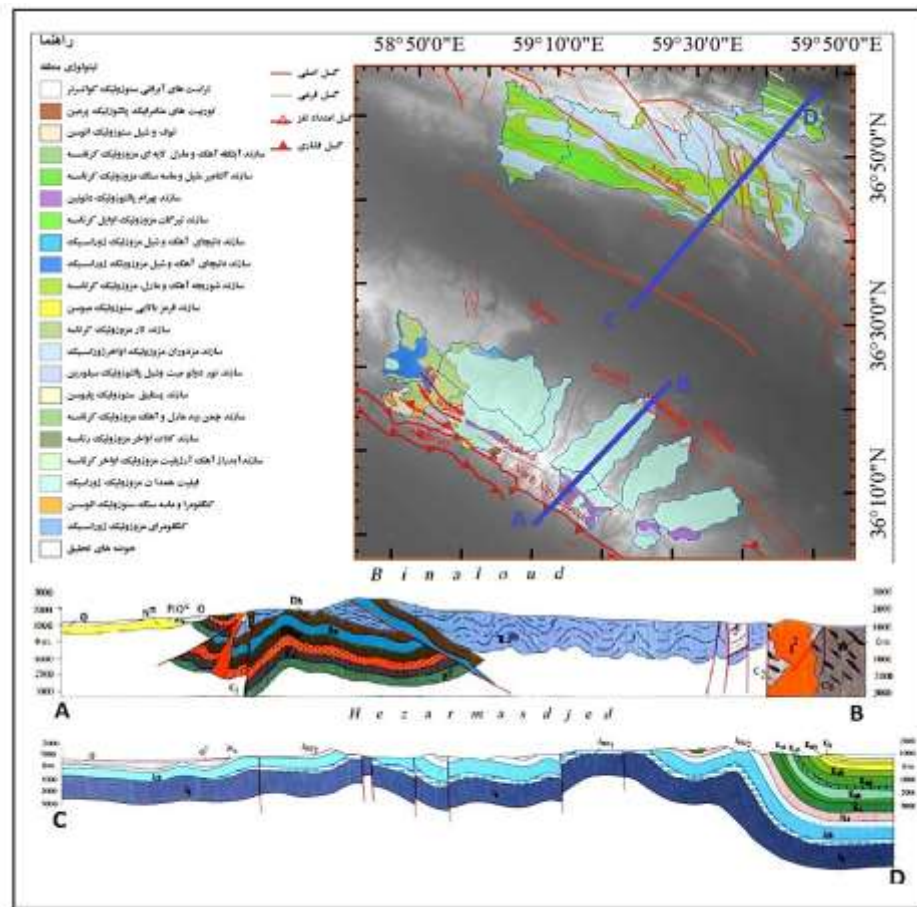
4- Cosmogenic erosion rates

5- Salada



شکل ۱: موقعیت محدوده مورد مطالعه  
Figure 1: Location of the studied area

طبق طبقه‌بندی آمبرژه و کوپن منطقه مورد مطالعه جزء اقلیم خشک و سرد و در قسمت‌های جنوبی منطقه، نیمه‌خشک و سرد می‌باشد. میانگین بارش در منطقه مورد مطالعه ۲۵۰-۴۰۰ میلی‌متر و میانگین دما ۱۵/۶ درجه است (IRIMO 2017) و فرآیند شکل‌زایی منطقه آب‌های جاری می‌باشد که تحت تاثیر توده‌های سرد شمالی قرار دارد که ذوب برف در ارتفاعات منطقه علاوه بر افزایش دبی رودخانه‌ها، تغذیه سفره آب زیرزمینی و بالتبع آن چشمه‌های پرآب کارستیک منطقه را سبب شده است (Alaei Taleghani, 2009: 242). حوضه‌های انتخاب شده در این تحقیق از دو زون ساختاری متفاوت کپه داغ و بینالود انتخاب شده است. حوضه ژئوسنکلینالی کپه داغ-هزارمسجد از لحاظ ساختاری مانند زاگرس تپ زورایی دارد و حوضه رسوبی-آذرین آلاداغ-بینالود در منتهی‌الیه البرز شرقی قرار دارد. چاله کشف رود در برگیرنده شهرهای مشهد، چناران و قوچان است و به صورت دشت پهناوری این حد انفصال این دو مجموعه ارتفاعی در منطقه است. مطابق شکل (۲) جهت گسل‌های دامنه جنوبی و شمالی بینالود شامل گسل بینالود، گسل شمال نیشابور، گسل آبقوی، بوژان، گسل آبقند-طرقبه، گسل گوراخک عموما شرقی و غربی هستند ولی در اثر حرکات همگرایی بلوک توران و مرکزی ایران، گسل‌های امتداد لغز کپه داغ شامل کلاته عرب‌ها، گسل اصلی کپه داغ و گسل قره‌داغ جهت شمالی-جنوبی دارند. مطالعات (Shabanian, et al (2012 نشان می‌دهد در محل گسل اصلی راستگرد کپه‌داغ سالی ۴/۳ سانتی‌متر حرکت وجود دارد همچنین در محل گسل فشاری نیشابور در حدود ۱/۳ تا ۲/۵ سانتی‌متر در سال زیرراندگی وجود دارد.



شکل ۲: نقشه لیتولوژی منطقه منطبق بر رشته کوه هزار مسجد و بینالود و نیمرخ چینه‌شناسی حوضه‌های منتخب تحقیق

Figure 2: Lithology map of the area corresponding to the Hezarmasjed and Binalood mountains with stratigraphic profiles

حوضه‌های منتخب در دو رشته کوه به نام‌های هزارمسجد در شمال و بینالود در جنوب قرار گرفته‌اند که چاله ناودیدی کشف رود این دو توده را از هم جدا می‌کند. مرز شمالی منطقه منطبق بر گسل عشق‌آباد می‌باشد که این ارتفاعات را از دشت ترکمنستان جدا می‌کند. حوضه هزارمسجد از نوع ژئوسنکلینالی است و عمل رسوب‌گذاری در محیطی نسبتاً آرام بوده است و شباهت فراوانی به زون چین‌خورده زاگرس شکسته دارد این منطقه در دوره مزوزوئیک باعث ایجاد سنگ‌هایی از جنس آهک، گچ، مارن، سیلتستون و کنگلومرا در قالب تشکیلات آق‌دریوند، کشف‌رود، چمن‌بید، مزدوران، شوربجه، تیرگان، کلات و... شده است. واحد بینالود را که عده‌ای آن را دنباله البرز شرقی می‌دانند در دوره پالئوزوئیک تحت حرکات ماگمایی شدیدی قرار گرفته و توده گرانیتی بینالود و ساختارهای دگرگونی اطراف آنرا سبب شده است قسمت غربی آن‌که از توده‌های آندزیتی با قله منفرد، در محدوده بخش چکنه نیشابور تشکیل شده است (Alaei, 2009: 238). سازندهای تشکیل دهنده این زون عبارتند از فیلیت همدان، بهرام، لار، دلیچای، مزدوران، توف و شیل ائوسن، کنگلومرای مزوزوئیک و سازند قرمز بالایی می‌باشد (شکل ۲). بیش‌ترین ارتفاع منطقه قله بینالود با ارتفاع ۳۲۱۱ متر و کم‌ترین ارتفاع منطقه در منتهی‌الیه شرقی منطقه واقع در دشت مشهد-چناران با ارتفاع ۴۳۰ متر از سطح دریا می‌باشد.

### مواد و روش‌ها

در این تحقیق جهت تحلیل‌های ژئومورفومتری از نرم‌افزار Arc gis 10.3 و تحلیل‌های آماری از نرم‌افزارهای SPSS 18 و Excel 2013 استفاده شده است. همچنین از نقشه‌های زمین‌شناسی ۱:۱۰۰۰۰۰ سازمان زمین‌شناسی، نقشه‌های توپوگرافی راقومی ۱:۲۵۰۰۰۰ تولید شده سازمان نقشه‌برداری کشور و تصاویر ماهواره‌ای لندست و GoogleEarth با دقت بالا برای کنترل و اعتبارسنجی محاسبات ژئومورفومتری انجام شد. مبنای محاسبات مورفومتری مدل راقومی ارتفاعی (DEM) با دقت ۲۰ متر تهیه شده از نقشه‌های توپوگرافی راقومی سازمان نقشه‌برداری کشور و مدل راقومی ارتفاعی (DEM) ۳۰ متر مستخرج شده از تصاویر ماهواره Aster می‌باشد. تمامی اطلاعات مذکور در پایگاه اطلاعات زمینی (Geodatabase) طبقه‌بندی و آماده پردازش شد. در این تحقیق ابتدا داده‌های دبی و رسوب بیش از ۳۸ ایستگاه هیدرومتری از سازمان آب منطقه‌ای خراسان رضوی تهیه و از بین آن‌ها تعداد ۱۵ ایستگاه با شرایط زیر مناسب تشخیص داده شد. الف) بند انحرافی و سد در بالادست ایستگاه وجود نداشته باشد. ب) دارای طول دوره آماری بیش‌تر از ۱۵ سال اخیر باشد. در جدول (۱) مشخصات کلی حوضه‌های تحقیق به اختصار بیان شده است.

جدول ۱- مشخصات حوضه‌ها و ایستگاه‌های تحقیق

Table 1- Characteristics of basins and stations in research

شماره	ایستگاه	حوضه	مساحت m2	محیط km	میانگین ارتفاع m	میانگین شیب %	نسبت دایره‌ای Re	نسبت کشیدگی حوضه	تراکم زهکشی Km/km2
۱	دیزباد علیا	دیزباد	۲۹	۶/۶۶	۲۳۶۸	۲۰/۳۸	۰/۷	۱/۶	۳/۹۹
۲	مجموع درود	درود	۴۴/۸	۱۰/۹	۲۳۲۸	۲۰/۹۰	۰/۶	۱/۲	۴/۰۰۴
۳	چشمه علی	خرو	۵۹/۲	۱۲/۷	۲۳۸۳	۲۲/۰۱	۰/۲	۱/۲	۴/۳۰۱
۴	عیش‌آباد	میرآباد	۱۴۸/۳	۲۰/۵۹	۲۳۶۳	۲۴/۷۰	۱/۵	۱/۲	۴/۴۲۲
۵	طاغان	طاغان	۱۰۱/۱	۱۹/۱۵	۲۳۴۱	۲۸	۰/۳	۱/۰	۴/۳۹۴
۶	اریه- چهارباغ	بار	۱۱۴/۷	۲۳/۶۸	۲۲۲۸	۳۰/۵۵	۰/۵	۰/۹	۴/۳۲۸
۷	موشنگ	فریزی	۲۸۳/۲	۲۶/۰۹	۲۲۸۴	۲۵/۷۴	۱/۹	۱/۳	۴/۰۵۱
۸	گلمکان	گلمکان	۴۶/۷	۱۸/۸۷	۲۳۸۲	۸۱/۹۲	۰/۲	۰/۷	۴/۱۲
۹	سرآسیاب شاندیز	شاندیز	۱۹۷/۵	۳۲/۵۴	۲۲۵۱	۱۹/۹۵	۰/۴	۰/۹	۴/۹۷
۱۰	گلستان-جاغرق	طرقه	۱۵۵/۵	۲۴/۴۷	۲۰۷۳	۱۷/۵۶	۰/۱	۰/۹	۴/۰۸۶
۱۱	کرتیان	طرق	۱۳۶/۸	۲۳/۴۰	۱۹۴۲	۱۸/۳۴	۱/۵	۱/۰	۴/۰۴
۱۲	کارده- بالادست	کارده	۴۴۲/۸	۵۰/۶۶	۲۱۲۸	۳۰/۳۳	۲/۱	۰/۸	۳/۹۳۸
۱۳	ارداک- ساروج	ارداک	۴۹۳/۴	۴۴/۴۳	۲۲۲۳	۲۷/۰۴	۰/۴	۱/۰	۳/۹۷۱
۱۴	امامزاده-رادکان	رادکان	۲۴۸/۳	۳۴/۳۲	۲۰۴۸	۲۰/۵۰	۰/۶	۰/۹	۳/۹۷۷
۱۵	دربند کلات	کلات	۱۶۷/۵	۳۱/۶۶	۱۸۳۴	۲۶/۳۰	۰/۳	۰/۸	۳/۹۷۷

پس از تعیین ایستگاه‌های مناسب مرز حوضه‌های بالادست آن‌ها با استفاده از مدل ارتفاعی رقومی (Dem) ترسیم شد. سپس با استفاده از نقشه‌های رقومی ۱:۲۵۰۰۰ سازمان نقشه‌برداری کشور تمامی محاسبات کلی حوضه آبریز شامل مساحت، محیط، نسبت دایره‌ای، نسبت کشیدگی، میانگین ارتفاع، شیب حوضه و به تفصیل محاسبات مربوط به ژئومورفومتری شبکه زهکشی از جمله: طول آبراهه، تراکم زهکشی، فرکانس زهکشی، تراکم گسل‌ها، نسبت انشعاب، ناهنجاری سلسله مراتبی، تراکم ناهنجاری سلسله مراتبی برای هر یک از حوضه‌ها استخراج شد. در این تحقیق با استفاده از معادله کرپیچ ۱۹۴۰، شاخص زمان تمرکز (Ts) مطابق رابطه (۱) محاسبه شد؛ که عبارتند از مدت زمان شروع رواناب تا زمانی که دبی به حداکثر مقدار یا تعادل خود برسد (Alizadeh, 2013: 135).

$$\text{رابطه (۱)} \quad T_s = 0.949 \left(\frac{L^3}{H}\right)^{0.385}$$

جهت محاسبه شاخص درصد واحدهای فرسایش‌پذیر از نقشه‌های ۱:۱۰۰۰۰۰ سازمان زمین‌شناسی استفاده شد. بدین منظور لیتولوژی حوضه‌ها در یک بازه ۱۰ ارزشی مطابق با عامل زمین‌شناسی سطحی در روش پسیاک کلاس‌بندی شد. سپس مقادیر بالای ۶ به عنوان سازندهای فرسایش‌پذیر انتخاب و درصد آن در هر حوضه محاسبه و در مدل تحقیق مورد استفاده قرار گرفت. در جدول (۲) مولفه‌های کمی حوضه آبریز و شبکه زهکشی با ذکر مرجع آمده است. پس از استخراج خطوط توپوگرافی از این نقشه‌ها خطوط آبراهه‌ها به روش دستی ترسیم و با استفاده از سیستم رده‌بندی شبکه زهکشی استرال<sup>۶</sup> رده‌بندی شد (Strahler, 1964: 4-39).

جدول ۲- مولفه‌های کمی حوضه آبریز و شبکه زهکشی

Table 2- Numerical parameters of drainage basin and drainage Network

شماره	مولفه کمی حوضه	معادل لاتین	علامت	رابطه	مرجع
۱	مساحت	Area (km <sup>2</sup> )	A	-	-
۲	محیط	Perimeter (km <sup>2</sup> )	P	-	-
۳	نسبت دایره‌ای	Elongation Ratio	Re	Re= 2/L <sub>b</sub> × √(A/π)	Miller (1953)
۴	نسبت کشیدگی	Form Factor	Rf	Rf = A/(L <sub>b</sub> ) <sup>2</sup>	Horton (1945)
۵	میانگین ارتفاع	Mean elevation(m)	H	-	-
۶	شیب حوضه	Mean Slope (degree)	S	-	-
۷	رده آبراهه	Stream Order (n)	U	Hierarchical Rank	Strahler (1964)
۸	طول آبراهه	Length (Km)	L	Length of the stream	Horton (1945)
۹	تراکم زهکشی	Drainage density (km <sup>2</sup> /km)	DD	DD=ΣLU/A	Horton (1932)
۱۰	فرکانس زهکشی	stream frequency	F <sub>s</sub>	F <sub>s</sub> =Nu/A	Horton (1945)
۱۱	بافت زهکشی	Drainage texture	T	T=Dd*DF	Smith (1950)
۱۲	نسبت انشعاب	Bifurcation ratio	R <sub>b</sub>	R <sub>b</sub> = Nu/Nu+1	Schumn (1956)
۱۳	تعداد ناهنجاری سلسله مراتبی	Hierarchical anomaly number	Ha	Ha=Σ(Ha <sub>i-j</sub> × N <sub>s i-j</sub> )	Avena et al (1967) Bahrami (2013)
۱۴	شاخص ناهنجاری سلسله مراتبی	Hierarchical anomaly index	Δa	Da ¼ Ha=N1	Avena et al (1967)
۱۵	تراکم ناهنجاری سلسله مراتبی	Hierarchical anomaly density	ga	Ga=Ha/A	Baroni et al (2005)
۱۶	زمان تمرکز	Time of concentration	Lu	0.949(L <sup>3</sup> /H) <sup>0.385</sup>	Kirpich (1940)

در روش رده‌بندی استرالر، بخشی از آبراهه که هیچ سرشاخه‌ای ندارد به عنوان آبراهه درجه ۱ است و با اتصال دو آبراهه درجه ۱، آبراهه درجه ۲ و با اتصال دو آبراهه درجه ۲، آبراهه درجه ۳ و با اتصال دو آبراهه درجه ۳، آبراهه درجه ۴ نامیده می‌شود. به‌طور کلی با اتصال دو آبراهه با درجه مشابه آبراهه بک درجه بالاتر تشکیل می‌شود. در هر سیستم زهکشی بی‌نهایت اتصال وجود دارد و در حالت طبیعی باید آبراهه‌های درجه یک به آبراهه درجه دو و دو آبراهه درجه دو به یک آبراهه درجه ۳ بریزد. در این حالت شبکه زهکشی ما هنجار است ولی اگر این قانون رعایت نشود سیستم آبراهه‌ها ناهنجاری سلسله مراتبی دارند. این مسئله می‌تواند در اثر عوامل متعدد زمین‌شناسی و تکتونیکی رخ دهد. آونا<sup>۷</sup> و همکاران شاخصی بنام  $Ha$  (تعداد ناهنجاری سلسله مراتبی آبراهه) را تعریف کردند. به نظر Avena et al (1986) عبارت است از حداقل تعداد آبراهه‌های درجه یک که باید به‌طور فرضی به شبکه زهکشی اضافه شوند تا اتصالات دارای نظم سلسله مراتبی شوند (Avena et al., 1967: 81-796) با توجه به این که هر گونه بی‌نظمی در شبکه زهکشی باعث ایجاد جریان نامنظم سیلابی شود لذا شاخص ناهنجاری سلسله مراتبی می‌تواند تاثیر مستقیمی بر روی رسوب حوضه‌ها داشته باشد (Ciccacci et al., 1986: 233-248). با توجه به این که محاسبه دستی  $Ha$  کار مشکلی است در این تحقیق ابتدا رابطه‌ای جهت محاسبه تعداد ناهنجاری سلسله مراتبی هر اتصال آبراهه ( $Ha_{i-j}$ ) تعریف می‌شود و بر اساس آن تعداد ناهنجاری سلسله مراتبی آبراهه در کل حوضه ( $Hat$ ) به‌دست می‌آید. در حالتی که یک آبراهه مبدا (به‌عنوان مثال درجه ۱) به آبراهه بالاتر یا مقصد (به‌عنوان مثال درجه ۳) متصل شود، اگر آبراهه مبدا را  $i$  و آبراهه مقصد را  $j$  بنامیم، تعداد ناهنجاری سلسله مراتبی هر اتصال آبراهه ( $Ha_{i-j}$ ) از رابطه ۲ به دست می‌آید (Bahrami, 2013: 914-928).

$$Ha_{i \rightarrow j} = 2^{(j-2)} - 2^{(i-1)} \quad \text{رابطه (۲)}$$

بعد از محاسبه ( $Ha_{i-j}$ ) تعداد آبراهه‌ها در هر اتصال ( $Ns_{i-j}$ ) به‌دست می‌آید. سپس از مجموع حاصل ضرب ( $Ha_{i-j}$ ) و ( $Ns_{i-j}$ ) تعداد ناهنجاری سلسله مراتبی آبراهه برای کل حوضه ( $Hat$ ) به‌دست می‌آید (رابطه ۳).

$$Ha_t = \sum (Ha_{i \rightarrow j} \times Ns_{i \rightarrow j}) \quad \text{رابطه (۳)}$$

بعد از محاسبه  $Hat$ ، شاخص  $\Delta a$  (شاخص ناهنجاری سلسله مراتبی) از تقسیم  $Hat$  بر تعداد واقعی آبراهه‌های درجه یک حوضه به‌دست می‌آید. شاخص  $ga$  (تراکم ناهنجاری سلسله مراتبی) نیز از تقسیم  $Hat$  بر مساحت حوضه به دست می‌آید (Guarnieri & Pirrotta, 2008: 261). در ادامه شاخص انشعابات در حوضه‌های تحقیق محاسبه شد. شاخص انشعابات یکی از شاخص‌های شبکه زهکشی است که می‌تواند تاثیر مستقیمی بر هیدروگراف سیل و در ادامه بر نرخ رسوب داشته باشد. شاخص انشعابات از عدد نسبت انشعابات حوضه ( $Rb$ ) منهای نسبت مستقیم انشعابات ( $Rbd$ ) حوضه به‌دست می‌آید (Baroni et al., 2005: 223). تفاوت در نسبت انشعاب تحت تاثیر میزان تکامل حوضه

و همچنین تنوع لیتولوژی آن است و از سوی دیگر با شکل حوضه در ارتباط است. در حوضه‌هایی که به شکل دایره نزدیک است نسبت زهکشی پایین است (Strahler, 1964: 115).

جهت محاسبه شاخص انشعابات ابتدا نسبت انشعابات (Rb) و سپس نسبت مستقیم انشعابات (Rbd) محاسبه شد. نسبت انشعابات برای هر رده از آبراهه از تقسیم تعداد کل آبراهه‌های آن درجه بر تعداد کل آبراهه‌های یک درجه بالاتر به دست می‌آید. نسبت انشعابات کل حوضه از میانگین Rb کل درجات محاسبه می‌شود (Guarnieri & Pirrotta, 2008: 262). نسبت مستقیم انشعابات (Rbd) برای هر رده آبراهه، از تقسیم تعداد آبراهه‌های آن درجه (که مستقیماً به یک درجه بالاتر وارد می‌شوند) بر تعداد کل آبراهه‌های یک درجه بالاتر به دست می‌آید. نسبت مستقیم انشعابات کل حوضه از میانگین Rbd کل درجات به دست می‌آید (Baroni et al., 2005: 223).  
نسبت انشعاب (Rb) با استفاده از رابطه ۴ به دست می‌آید:

$$Rb(u-u+1) = Nu/Nu+1 \quad \text{رابطه (۴)}$$

در این رابطه:

Rb = نسبت انشعاب، Nu = تعداد آبراهه‌های رتبه ویژه، Nu+1 = تعداد آبراهه‌های رتبه بالاتر می‌باشد

به عبارت دیگر نسبت انشعابات برای هر رده از آبراهه از تقسیم تعداد کل آبراهه‌های آن درجه بر تعداد کل آبراهه‌های یک درجه بالاتر به دست می‌آید. نسبت انشعابات کل حوضه از میانگین Rb کل درجات محاسبه می‌شود (Guarnieri & Pirrotta, 2008: 267). نسبت انشعابات در ارتباط مستقیم با ناهنجاری در سیستم زهکشی نیز می‌باشد (Strahler, 1957: 914). در ادامه تحقیق تک‌تک شاخص‌های مورفومتری مربوط به ۱۵ حوضه آبریز به دقت محاسبه شد. پس از محاسبه شاخص‌های مورفومتری حوضه آبریز، این سوال مطرح است که آیا عوامل ژئومورفومتری می‌تواند تاثیری در نرخ بار رسوبی حوضه‌ها داشته باشد؟ در این تحقیق سعی شده با ارزیابی شاخص‌های مورفومتری شبکه زهکشی، تاثیر این متغیرها بر نرخ رسوب حوضه‌ها ارزیابی شود. بدین منظور با استفاده از روش‌های Ciccacci, et al. میزان رسوب کل حوضه آبریز محاسبه شد. این روش بر اساس خصوصیات مورفومتری شبکه زهکشی به خصوص تراکم زهکشی است. یکی از مهم‌ترین عوامل موثر در افزایش رسوب در حوضه‌ها میزان تراکم زهکشی است (Seta et al., 2008: 22). عموماً هر چه میزان فراوانی آبراهه‌ها در یک حوضه بیش‌تر باشد میزان کاوش و برداشت رسوب از سطح حوضه بیش‌تر خواهد بود. بر همین مبنا Ciccacci و همکاران روشی ارائه دادند که بر اساس آن می‌توان رسوب حوضه را بر اساس ضریب تراکم زهکشی و میزان ناهنجاری سلسله مراتبی محاسبه نمود (Ciccacci et al., 1986: 233-248). برای محاسبه نرخ فرسایش ابتدا با توجه به نرخ تراکم زهکشی از یکی از این دو تابع استفاده می‌شود (رابطه ۴ و ۵).

$$\text{LogTu} = 1.05954 + 2.79687 \log D + 0.13985 \quad \Delta a D \geq 6 \quad \text{رابطه (۵)}$$

$$\Delta a D < 6 \quad \text{LogTu} = 1.44780 + 0.32619D + 0.10247 \quad \text{رابطه (۶)}$$

این روش‌ها با توجه به متغیرهای مورد استفاده، عموماً مبتنی بر خصوصیات کمی حوضه آبریز می‌باشند. در ادامه تحقیق آمار دبی و رسوب برداشت شده از سطح ایستگاه‌ها هم سنجی و داده‌هایی که دارای خطا دستگامی، انسانی، محیطی می‌باشد تصحیح و یا استانداردسازی شد. سپس با استفاده از نسبت رسوب به دبی نرخ رسوب سالانه در واحد تن از کل حوضه در سال محاسبه شد. در ادامه این میزان با نرخ بار رسوبی حاصل از روش Ciccacci و همکاران (تن در سال خروجی از کل حوضه) مقایسه شد. لازم به ذکر است با تمامی حوضه‌ها دارای تراکم زهکشی کم‌تر از ۶ بوده در نتیجه از رابطه ۶ برای برآورد نرخ رسوب (تن از کل حوضه) استفاده شد. پس از تحلیل نتایج دو روش، نرخ رسوب سالانه در هر کیلومتر مربع از حوضه‌ها محاسبه شد و ضریب همبستگی میان متغیرهای ژئومورفومتری حوضه آبریز با نرخ بار رسوب حوضه‌ها در واحد سطح، با استفاده از روش رگرسیون چند متغیره محاسبه و عوامل تاثیرگذار در افزایش بار رسوبی رودخانه تعیین و معرفی شدند.

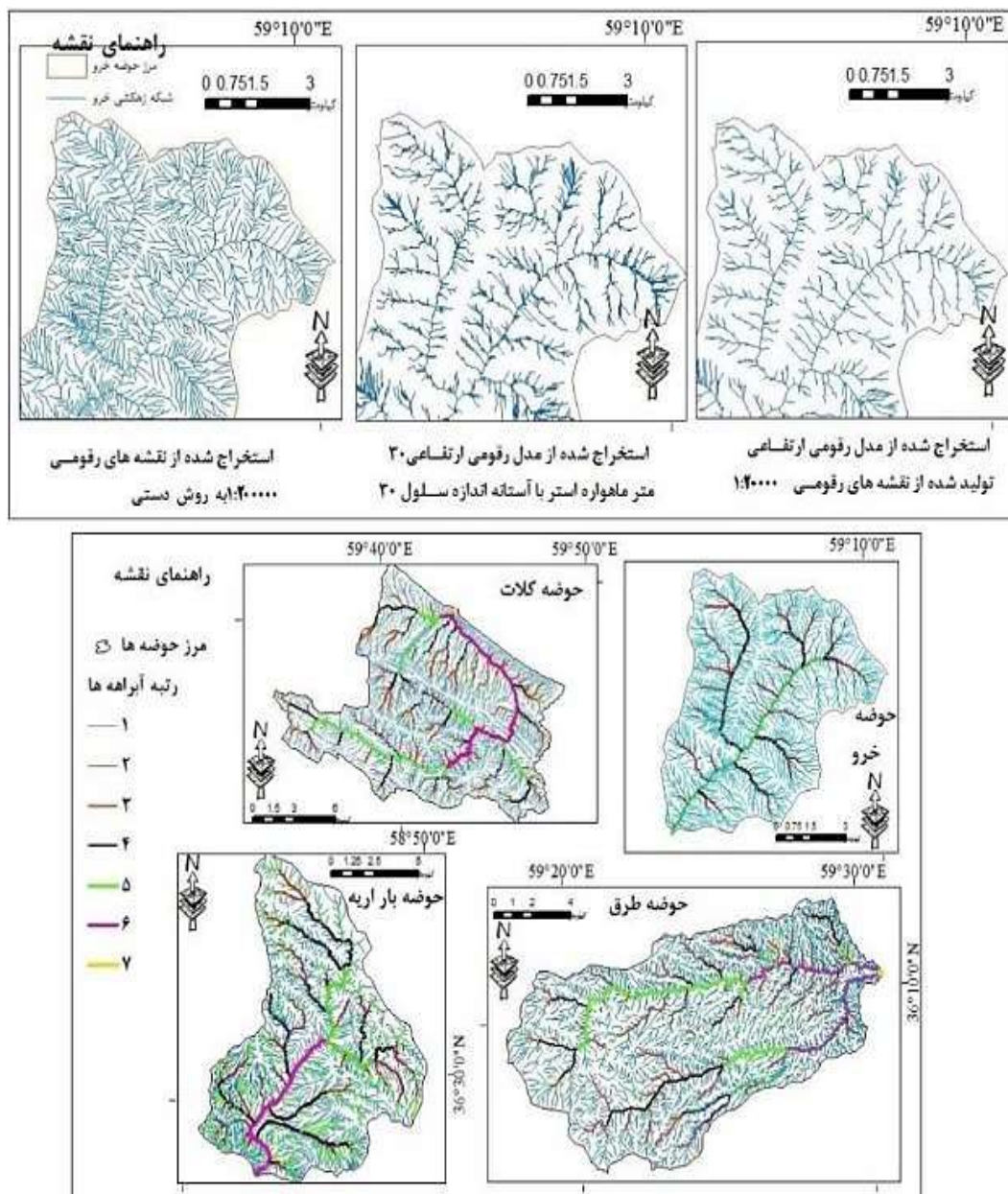
### یافته‌ها و بحث

هر یک از مولفه‌های کمی حوضه زهکشی با مقادیر مشخص بیانگر نوعی فرم در حوضه است. این مولفه‌ها بر انرژی جریانی، حرکات توده‌ای و دبی سیلاب و رسوب در حوضه‌ها تاثیر می‌گذارد (Zhang et al., 2015: 20). در این تحقیق از متغیرهای مربوط به حوضه آبریز، متغیرهای شبکه زهکشی و متغیرهای لیتولوژیکی برای ارزیابی نقش این پارامترها بر دبی رسوب حوضه‌ها استفاده شد.

### - رده‌بندی آبراهه‌ها

در این تحقیق ابتدا با استفاده از نقشه‌های ۱:۲۰۰۰۰۰ سازمان نقشه‌برداری کشور اقدام به ترسیم شبکه زهکشی به روش دستی در محیط GIS شد. ترسیم تک‌تک آبراهه‌ها در حوضه‌های آبریز انتخاب شده یکی از مراحل سخت و طاقت‌فرسای این تحقیق بود. پس از انجام این مرحله، نتایج حاصل از محاسبه تراکم زهکشی مورد ارزیابی قرار گرفت. طبق محاسبات انجام شده تمامی حوضه‌ها دارای تراکم زهکشی بالای ۶/۱ و در برخی حوضه‌ها به رقم بیش از ۷/۹ نیز می‌رسید. لذا از روش‌های دیگری جهت استخراج شبکه زهکشی استفاده شد. بدین منظور با استفاده از ماژول Arc hydro و مدل رقومی ارتفاعی ۳۰ متر ماهواره استر به صورت اتوماتیک آبراهه‌های موجود در هر حوضه استخراج شد. به دلیل خطای موجود در چیدمان پیکسلی مدل رقومی ارتفاعی، این شبکه زهکشی نیز دقیق نبوده و در برخی نقاط تمامی پیکسل‌ها را به عنوان آبراهه معرفی می‌نمود؛ حتی به روش آستانه گذاری (Hosseinzadeh & Jahadi, 2010) (16) سعی در استخراج شبکه زهکشی مناسب‌تر شد. آستانه ۲۵-۵۰ سلول برای استخراج شبکه زهکشی انتخاب و شبکه زهکشی ترسیم شد؛ اما این شبکه نیز دارای ایرادات اساسی در اتصال آبراهه‌ها بود. لذا اقدام به تولید مدل رقومی ارتفاعی از نقشه‌های رقومی ۱:۲۰۰۰۰۰ سازمان نقشه‌برداری شد و با اندازه سلولی ۲۰ متر مدل رقومی ارتفاعی ساخته و به صورت اتوماتیک در نرم‌افزار GIS شبکه زهکشی برای تک‌تک حوضه‌ها تهیه شد (شکل ۳). در این تصویر نحوه استخراج و انتخاب شبکه زهکشی مناسب و دقیق را نشان می‌دهد که حوضه خرو به عنوان نمونه نشان داده شده است.

در ادامه تحقیق شبکه زهکشی انتخاب شده، با روش استرالر رتبه‌بندی شد؛ به نحوی که دو آبراهه درجه یک به یک آبراهه درجه دو متصل می‌شود و دو آبراهه درجه دو به یک آبراهه درجه سه متصل می‌شود. تعداد رده آبراهه در ۱۷ حوضه تحقیق بین ۵-۷ رده می‌باشد و حوضه دیزباد علیا با کم‌ترین شماره رده و حوضه کارده دارای بیش‌ترین شماره رده است.



شکل ۳: ترسیم و رده‌بندی برآهه ها به روش استرالر

Figure 3: Drawing and classification of canals by Astraler method

- شاخص انشعابات

شاخص انشعابات یکی از شاخص‌های شبکه زهکشی است که می‌تواند تاثیر مستقیمی بر هیدروگراف سیل دارد و هر چقدر شبکه زهکشی سیلابی‌تر باشد نرخ رسوب بیشتری نیز دارد. نسبت انشعابات در ارتباط مستقیم با ناهنجاری در سیستم زهکشی نیز می‌باشد. (Strahler, 1964: 113). در جدول (۳) تعداد آبراهه‌های موجود در هر رده به تفکیک آورده شده است و مقادیر Rb برای حوضه‌های تحقیق محاسبه شده است. بیش‌ترین میزان شاخص نسبت انشعاب ۵/۷۲ و ۴/۵۹ به ترتیب مربوط به حوضه‌های گلمکان و شاندیز است و کم‌ترین میزان نسبت انشعاب مربوط به حوضه‌های رادکان و کلات به ترتیب ۲/۷۹ و ۲/۸ می‌باشد. در حالت کلی هر چقدر نسبت انشعاب بیش‌تر باشد شکل حوضه از حالت گرد به حالت کشیده بیش‌تر می‌شود. در این تحقیق حوضه‌هایی که دارای شکل گردتری نسبت به سایر حوضه‌ها هستند نسبت انشعابات کم‌تر و در نتیجه هیدروگراف سیل آن‌ها دارای راس تیزتر و رودخانه‌های آن‌ها سیلابی‌ترند؛ و این عامل نرخ رسوب معلق رودخانه‌ها افزایش می‌دهد.

جدول ۳- تعداد آبراهه‌ها در هر رده جهت محاسبه شاخص Rb  
Table 3- Number of channels in each category to calculate Rb

حوضه درجه	۱	۲	۳	۴	۵	۶	۷	۸	۹	۱۰	۱۱	۱۲	۱۳	۱۴	۱۵
نام حوضه	دیزباد	درود	خرو	میرآباد	طاغان	بار	فریزی	گلمکان	شاندیز	طرقبه	طرق	کارده	ارداک	رادکان	کلات
تعداد (U)	۵	۶	۵	۶	۶	۵	۷	۵	۶	۶	۷	۸	۷	۷	۷
۱	۲۸۲	۴۶۶	۶۵۹	۱۷۰۸	۱۱۲۳	۱۲۴۴	۲۹۵۴	۴۷۴	۲۰۶۹	۱۱۴۲	۱۲۳۵	۴۶۵۲	۵۲۰۴	۲۶۳۴	۱۷۲۲
۲	۷۵	۱۰۲	۱۲۹	۳۸۲	۲۵۸	۲۷۳	۵۶۸	۱۰۶	۳۹۴	۲۴۵	۲۴۴	۸۱۶	۹۱۵	۴۹۸	۳۱۷
۳	۱۶	۲۶	۳۴	۷۲	۶۰	۵۰	۱۳۲	۲۴	۸۴	۵۸	۵۶	۱۹۴	۲۱۶	۱۲۰	۹۰
۴	۴	۵	۸	۱۷	۱۱	۱۴	۲۵	۲	۱۴	۱۱	۱۳	۵۳	۵۰	۳۳	۲۰
۵	۱	۲	۲	۵	۴	۶	۱۰	۱	۲	۳	۲	۹	۹	۹	۶
۶	۰	۱	۱	۱	۱	۱	۳	۰	۱	۱	۱	۲	۳	۳	۲
۷	۰	۰	۰	۰	۰	۰	۱	۰	۰	۰	۱	۱	۱	۱	۱
SUM	۳۷۸	۶۰۲	۸۳۳	۲۱۸۵	۱۴۵۷	۱۵۸۸	۳۶۹۳	۶۰۷	۲۵۶۴	۱۴۶۰	۱۵۵۱	۵۷۲۷	۶۳۹۸	۳۲۹۸	۲۱۵۸
Rb	۴/۱۱	۳/۲۴	۳/۴۳	۳/۴۸	۳/۳۷	۳/۱۸	۲/۸۸	۵/۷۲	۴/۵۹	۳/۵۶	۴/۰۵	۳/۲۴	۳/۳۰	۲/۷۹	۲/۸

- شاخص ناهنجاری سلسله مراتبی

آونا و همکاران شاخصی بنام Ha (تعداد ناهنجاری سلسله مراتبی آبراهه) را تعریف کردند با توجه به این‌که هر گونه بی‌نظمی در شبکه زهکشی باعث ایجاد جریان نامنظم سیلابی شود لذا شاخص ناهنجاری سلسله مراتبی می‌تواند تاثیر مستقیمی بر روی رسوب حوضه‌ها داشته باشد (Avena et al., 1967: 83).

جدول ۴- نحوه محاسبه شاخص ناهنجاری سلسله مراتبی در حوضه‌های تحقیق

Table 4- Calculation of hierarchical anomaly index in research basins

۶		۵		۴		۳		۲		۱		*Z	مسیر
y	x	y	x	y	x	y	x	y	x	y	x		
۰	۹۳۶	۰	۸۱۲	۰	۱۲۲	۰	۴۷۲	۰	۳۲۹	۰	۲۲	۰	۱→۲
۱۲۶	۱۲۶	۱۲۹	۱۲۹	۱۶۹	۱۶۹	۷۴	۷۴	۵۲	۵۲	۱۸	۱۸	۱	۱→۳
۳۳۳	۱۱۱	۱۸۰	۶۰	۴۹۵	۱۶۵	۱۷۱	۵۷	۷۵	۲۵	۱۱۷	۳۹	۳	۱→۴
۲۵۲	۳۶	۵۱۸	۷۴	۱۰۴۳	۱۴۹	۳۵	۵	۱۸۹	۲۷	۵۶	۸	۷	۱→۵
۶۶۰	۴۴	۸۱۰	۵۴	۴۸۰	۳۲	۴۳۵	۲۹	۲۴۰	۱۶	۰	۰	۱۵	۱→۶
۰	۰	۰	۰	۰	۰	۰	۰	۰	۰	۰	۰	۳۱	۱→۷
۰	۱۷۵	۰	۱۶۴	۰	۲۲۴	۰	۱۰۴	۰	۸۸	۰	۴۰	۰	۲→۳
۹۶	۴۸	۴۲	۲۱	۱۰۶	۵۳	۵۲	۲۶	۲۶	۱۳	۵۸	۲۹	۲	۲→۴
۸۴	۱۴	۲۵۲	۴۲	۳۷۰	۴۵	۱۲	۲	۶۶	۱۱	۱۸	۳	۶	۲→۵
۳۲۲	۲۳	۳۵۰	۲۵	۲۸۰	۲۰	۲۸۰	۲۰	۱۱۲	۸	۰	۰	۱۴	۲→۶
۰	۰	۰	۰	۰	۰	۰	۰	۰	۰	۰	۰	۳۰	۲→۷
۰	۴۳	۰	۳۰	۰	۵۷	۰	۲۵	۰	۱۵	۰	۱۵	۰	۳→۴
۲۰	۵	۶۴	۱۶	۷۶	۱۹	۴	۱	۱۶	۴	۰	۰	۴	۳→۵
۸۴	۷	۱۸۰	۱۵	۷۲	۶	۹۶	۸	۸۴	۷	۰	۰	۱۲	۳→۶
۰	۰	۰	۰	۰	۰	۰	۰	۰	۰	۰	۰	۲۸	۳→۷
۰	۱۳	۰	۹	۰	۱۸	۰	۴	۰	۴	۰	۴	۰	۴→۵
۱۶	۲	۱۶	۲	۰	۰	۳۲	۴	۸	۱	۰	۰	۸	۴→۶
۰	۰	۰	۰	۰	۰	۰	۰	۰	۰	۰	۰	۲۴	۴→۷
۰	۵	۰	۴	۰	۶	۰	۲	۰	۲	۰	۰	۰	۵→۶
۰	۰	۰	۰	۰	۰	۰	۰	۰	۰	۰	۰	۱۶	۵→۷
۰	۰	۰	۰	۰	۰	۰	۰	۰	۰	۰	۰	۰	۶→۷
۱۹۹۳		۲۵۴۱		۲۹۹۱		۱۱۹۱		۸۶۸		۲۶۷			ha
۱۲۴۴		۱۱۲۳		۱۷۰۸		۶۵۹		۴۶۶		۲۸۲			n1
۱/۶		۲/۲۶		۱/۷۵		۱/۸		۱/۸۶		۰/۹۴۶			Δa
۱۷/۳۸		۲۵/۱		۲۰/۱		۲۰/۱		۱۹/۴		۹/۲۱			ga

ادامه جدول (۴)

۱۵		۱۴		۱۳		۱۲		۱۱		۱۰		۹		۸		۷		
y	x	y	x	y	x	y	x	y	x	y	x	y	x	y	x	y	x	
۰	۱۳	۰	۲۰	۰	۳۹۷۱	۰	۳۵۶۶	۰	۹۴۵	۰	۷۹	۰	۱۶	۰	۳۴	۰	۲	۱→۲
۱۵	۱۵	۲۸	۲۸	۵۳۱	۵۳۱	۴۴۳	۴۴۳	۱۵۴	۱۵۴	۱۴۰	۱۴	۱۸	۱۸	۵۴	۵۴	۲۹۳	۲	۱→۳
۲۶	۸۹	۴۵	۱۵	۸۶۱	۲۸۷	۸۹۷	۲۹۹	۲۶۴	۸۸	۲۴۹	۸۳	۳۹	۱۳	۷۸	۲۶	۶۴۵	۲	۱→۴
۴۶	۶۶	۸۱	۱۱	۱۷۴۳	۲۴۹	۹۲۴	۱۳۲	۸۵۴	۱۲۲	۳۹۹	۵۷	۴۳	۶۲	۳۲	۴۷	۱۴۰۰	۲	۱→۵
۶۹	۴۶	۴۰	۲۷	۸۷۰	۵۸	۱۷۴۰	۱۱۶	۰	۰	۶۱۵	۴۱	۱۲	۸	۰	۰	۹۳۰	۶	۱→۶
۹۳	۳	۱۱	۳۶	۱۱۴۷	۳۷	۱۰۲۳	۳۳	۰	۰	۰	۰	۰	۰	۰	۰	۳۴۱	۱	۱→۷
۰	۲۲	۰	۳۶	۰	۶۷۴	۰	۵۸۴	۰	۷۳	۰	۱۷	۰	۲۶	۰	۶۶	۰	۳	۲→۳
۱۱	۵۵	۹۰	۴۵	۲۲۸	۱۱۴	۲۵۰	۱۲۵	۵۸	۲۹	۸۴	۴۲	۱۳	۶۵	۱۶	۸	۱۵۰	۷	۲→۴
۲۰	۳۴	۳۸	۶۴	۷۲۶	۱۲۱	۳۸۴	۶۴	۴۰۸	۶۸	۲۰۴	۳۴	۴۸	۸۰	۱۸	۳۱	۶۷۲	۱	۲→۵

ادامه جدول ۴- نحوه محاسبه شاخص ناهنجاری سلسله مراتبی در حوضه‌های تحقیق  
Continue Table 4- Calculation of hierarchical anomaly index in research basins

۴۲	۳۰	۱۵	۱۱	۵۳۲	۳۸	۹۱۰	۶۵	۰	۰	۱۸۲	۱۳	۱۴	۱	۰	۰	۴۴۸	۳	۲→۶
۰	۰	۶۶	۲۲	۸۷۰	۲۹	۵۱۰	۱۷	۰	۰	۰	۰	۰	۰	۰	۰	۲۱۰	۷	۲→۷
۰	۶۵	۰	۸۸	۰	۱۴۷	۰	۱۴۹	۰	۳۳	۰	۴۱	۰	۵۲	۰	۹	۰	۹	۳→۴
۳۶	۹	۸۸	۲۲	۲۰۴	۵۱	۱۲۸	۳۲	۹۲	۲۳	۵۲	۱۳	۱۴	۳۶	۶۰	۱۵	۱۰۴	۲	۳→۵
۱۶	۱۴	۶۰	۵	۲۴۰	۲۰	۳۲۴	۲۷	۰	۰	۸۴	۷	۰	۰	۰	۰	۱۶۸	۱	۳→۶
۰	۰	۲۵	۹	۲۵۲	۹	۲۸۰	۱۰	۰	۰	۰	۰	۰	۰	۰	۰	۸۴	۳	۳→۷
۰	۱۶	۰	۲۷	۰	۴۰	۰	۳۷	۰	۱۴	۰	۹	۰	۱۵	۰	۲	۰	۲	۴→۵
۴۰	۵	۸	۱	۴۰	۵	۹۶	۱۲	۰	۰	۱۶	۲	۰	۰	۰	۰	۲۴	۳	۴→۶
۰	۰	۹۶	۴	۱۲۰	۵	۴۸	۲	۰	۰	۰	۰	۰	۰	۰	۰	۲۴	۱	۴→۷
۰	۶	۰	۸	۰	۸	۰	۹	۰	۲	۰	۳	۰	۲	۰	۰	۰	۱	۵→۶
۰	۰	۱۶	۱	۱۶	۱	۳۲	۲	۰	۰	۰	۰	۰	۰	۰	۰	۰	۰	۵→۷
۰	۲	۰	۳	۰	۳	۰	۳	۰	۰	۰	۰	۰	۰	۰	۰	۰	۳	۶→۷
۲۶۴۵	۴۸۸۵	۸۳۸۰	۷۹۸۹	۱۸۳۰	۲۰۲۵	۱۹۰۱	۷۲۳	۵۴۹۳	ha									
۱۷۲۲	۲۶۳۴	۵۲۰۴	۴۶۵۲	۱۲۳۵	۱۱۴۲	۲۰۶۹	۴۷۴	۲۹۵۴	nI									
۱/۵۶	۱/۸۵	۱/۶۱	۱/۷۱	۱/۴۸	۱/۷۷	۰/۹۱	۱/۵۲	۱/۸۵	Δa									
۱۵/۷	۱۹/۶	۱۶/۹	۱۸/۰۴	۱۳/۳۸	۱۷/۵۳	۹/۶	۱۵/۴	۱۹/۳۹	ga									

$$*Z = Ha_{i \rightarrow j} \quad x = Ns_{i \rightarrow j} \quad y = Ha_{i \rightarrow j} \times Ns_{i \rightarrow j}$$

در جدول (۴ و ۵) مقادیر Hat برای هر اتصال محاسبه شد. بعد از محاسبه Hat، شاخص Δa (شاخص ناهنجاری سلسله مراتبی) از تقسیم Hat بر تعداد واقعی آبراهه‌های درجه یک حوضه به دست می‌آید. شاخص ga (تراکم ناهنجاری سلسله مراتبی) نیز از تقسیم Hat بر مساحت حوضه به دست می‌آید. سپس تعداد ناهنجاری سلسله مراتبی، شاخص ناهنجاری سلسله مراتبی و تراکم ناهنجاری سلسله مراتبی در هر یک از حوضه‌های تحقیق محاسبه شد. طبق محاسبات انجام شده مشخص شد حوضه ارداک با ۶۳۹۸ آبراهه بیشترین تعداد آبراهه و حوضه دیزباد با ۳۷۸ کمترین آبراهه را دارد همچنین با محاسبه تعداد ناهنجاری در تمامی رده‌ها در حوضه‌های تحقیق (ha) مشخص شد. حوضه ارداک و کارده به ترتیب ۷۹۸۹ و ۸۳۸۰ آبراهه بیشترین و حوضه‌های دیزباد و گلمکان با ۲۶۷ و ۷۲۳ آبراهه، دارای کمترین تعداد ناهنجاری سلسله مراتبی می‌باشد. همچنین حوضه‌های طاغان و دررود به ترتیب با ۲/۲۶ و ۱/۸۶ بیشترین و حوضه‌های شاندیز و دیزباد با ۰/۹۱ و ۰/۹۴ کمترین Δa را دارند با محاسبه شاخص تراکم ناهنجاری سلسله مراتبی مشخص شد حوضه طاغان با ۲۵/۱۳۹ بیشترین و حوضه دیزباد با ۹/۲۱ متر در هر متر مربع کمترین میزان تراکم ناهنجاری را دارد. طبیعی است هرچه مقدار تراکم ناهنجاری سلسله مراتبی در واحد سطح بیشتر باشد تلاطم آبراهه‌ها بیشتر تر و نرخ رسوب حوضه‌ها نیز بیشتر می‌شود.

- محاسبه رسوب با استفاده از خصوصیات شبکه زهکشی (روش Ciccacci, et al)

یکی از مهم‌ترین عوامل موثر در افزایش رسوب در حوضه‌ها میزان تراکم زهکشی است. عموماً هر چه میزان فراوانی آبراهه‌ها در یک حوضه بیش‌تر باشد میزان کاوش و برداشت رسوب از سطح حوضه بیش‌تر خواهد بود. در این تحقیق با توجه به پایین بودن تراکم زهکشی در همه حوضه‌ها از رابطه دوم استفاده شد. این عامل به همراه شاخص ناهنجاری سلسله مراتبی در رابطه ۴ و ۵ لحاظ شده و نرخ رسوب سالانه محاسبه شده است. طبق محاسبات انجام شده در جدول (۵) حوضه‌های ارداک، کارده و فریزی با مقادیر  $۳۵۸۵۹۳/۳۹۹۳۱۵,۲/۳$  و  $۲۵۸۱۶۷/۷$  تن در سال دارای بیش‌ترین میزان رسوب و حوضه‌های دیزباد، دررود و گلمکان با  $۲۰۴۷/۹$ ،  $۳۹۴۳۸/۸$  و  $۴۱۴۱۵/۸$  تن در سال از کل حوضه کم‌ترین میزان رسوب را به خود اختصاص دادند.

- محاسبه رسوب از طریق منحنی دبی-رسوب (سنجه رسوب)

برای به‌دست آوردن متوسط رسوب سالیانه در حوضه‌های تحقیق از منحنی دبی-رسوب (سنجه رسوب) استفاده شد. برای به‌دست آوردن رابطه بین دبی رودخانه و دبی رسوب ایستگاه‌ها از آمار طولانی مدت برداشت شده توسط سازمان تماب استفاده شد بدین صورت که یک تابع لگاریتمی برای این دو متغیر رسم و ضریب همبستگی آن محاسبه شد. با داشتن منحنی سنجه و رسوب و رسم منحنی تداوم جریان می‌توان مقدار رسوب را برای سال‌های مختلف برآورد نمود. سپس منحنی سنجه و رسوب برای تمامی ایستگاه‌ها رسم شد؛ و میزان رسوب سالانه برای هر ایستگاه تعیین شد.

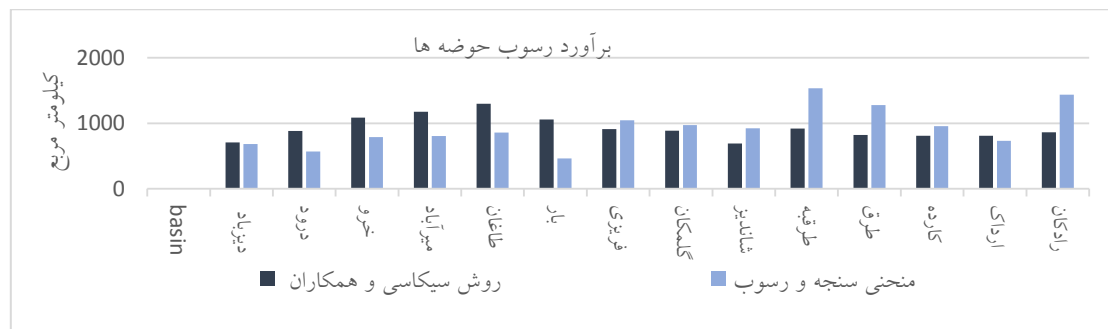
جدول ۵- محاسبه نرخ رسوب سالانه برای کل حوضه‌های تحقیق

Table 5- Calculation of annual sediment rates for all research basins

شماره	حوضه	Ciccacci و همکاران ۱۹۸۵	منحنی سنجه و رسوب
۱	واحد	تن در سال	تن در سال
۲	دیزباد	۲۰۴۷/۹	۱۹۷۸۳/۶
۳	درود	۳۹۴۳۸/۸	۲۵۵۷/۸
۴	خرو	۶۴۳۱۴/۵	۴۶۷۴۳/۵
۵	میرآباد	۱۷۴۰۷۰/۷	۱۱۹۱۰۹/۳
۶	طاقان	۱۳۱۱۴۰/۶	۸۶۶۴۹/۶
۷	بار	۱۲۱۰۶۸/۱	۵۳۰۱۹/۴
۸	فریزی	۲۵۸۱۶۷/۷	۲۹۵۷۶/۶
۹	گلمکان	۴۱۴۱۵/۸	۴۵۸۳۷/۵
۱۰	شاندیز	۱۳۳۳۳۵/۷	۱۸۳۲۵۱/۱
۱۱	طرقه	۱۰۵۹۲۲/۸	۱۷۷۰۹۹/۶
۱۲	کارده	۱۱۲۳۴۰	۱۷۴۵۶/۰
۱۳	ارداک	۳۵۸۵۹۳	۵۸۲۳۶۷/۵
۱۴	رادکان	۲۱۶۹۰۹/۷	۳۶۱۰۶۴۷/۶
۱۵	کلات	۱۳۵۸۹۳	۲۱۲۷۴۳۳/۳

در این تحقیق با استفاده از اطلاعات سازمان آب منطقه‌ای و تعیین نسبت رسوب به دبی در حوضه‌های تحقیق مشخص

شد حوضه‌های کارده و ارداک به ترتیب با  $423468/5$  و  $360647/6$  تن در سال بیش‌ترین و حوضه‌های دیزباد و دررود به ترتیب با  $19786/6$  و  $25578$  تن در سال از بیش‌ترین نرخ رسوب سالانه را دارند (شکل ۴).



شکل ۴: نمودار میزان رسوب سالانه در هر کیلومتر مربع از حوضه‌های تحقیق

Figure 4: Annual sediment diagram per square kilometer of the study basins

در این تحقیق برای اعتبارسنجی روش Ciccacci et al (1985) از داده‌های سنجه رسوب سازمان آب منطقه‌ای استفاده شد. همچنین از روش منحنی سنجه-رسوب برای کشف ارتباط بین مولفه‌های شبکه زهکشی و نرخ رسوب سالیانه استفاده و مبنای همبستگی نیز، نرخ رسوب سالانه در واحد کیلومتر مربع تعریف شد. مطابق جدول و شکل (۵) نرخ رسوب سالیانه هر یک از حوضه‌های تحقیق به دست آمد همان‌طور که در جدول آمده است پارامترهای مورفومتری شبکه زهکشی در ۱۵ حوضه آبریز محاسبه و جهت کشف ارتباط آن با نرخ رسوب سالانه مورد استفاده قرار گرفت. در جدول (۶) محاسبه پارامترهای مورفومتری شبکه زهکشی آمده است.

جدول ۶- محاسبه پارامترهای مورفومتری شبکه زهکشی و نرخ رسوب سالانه

Table 6- Calculation of morphometric parameters of drainage network and annual sedimentation rate

شماره	نام حوضه	طول آبراهه	فرکانس زهکشی	زمان تمرکز	بافت زهکشی	تراکم گسل‌ها	واحدهای فرسایش پذیر	میانگین دبی سالیانه به M3/S	تعداد ناهنجاری سلسله مراتبی	شاخص ناهنجاری سلسله مراتبی	تراکم ناهنجاری سلسله مراتبی	رسوب سالیانه منحنی سنجه و رسوب	رسوب سالیانه روش Ciccacci et al
علام	-	L	Df	Tc	T	Df	E	Q	Ha	Δa	Ga	ss	Log sy
واحد	-	کیلومتر	-	ساع	-	Km/km2	%	M3/S	n	-	N/km2	Ton/ km2	Ton/ km2
۱	دیزباد	۱۱۵/۹	۱۳/۰۳	۰/۰۶	۳/۸۴	۰/۰۰۰۷	۵۴/۶۴	۰/۱۳	۲۶۷	۰/۹۵	۹/۲۱	۶۸۲/۶۱	۷۰۶/۲۹
۲	دررود	۱۷۹/۴	۱۳/۴۴	۰/۹۲	۳/۱۶	۰/۰۰۰۵	۸۵/۲۳	۰/۲۷	۸۶۸	۱/۸۶	۱۹/۳۸	۵۷۰/۹۶	۸۸۰/۳۷
۳	خرو	۲۵۴/۷	۱۴/۰۷	۱/۰۶	۳/۸۰	۰/۰۰۰۵	۷۳/۵۰	۰/۱۳	۱۱۹۱	۱/۸۱	۲۰/۱۱	۷۸۹/۵۱	۱۰۸۶/۲۱
۴	میرآباد	۶۵۵/۷	۱۴/۷۴	۱/۷۷	۳/۴۰	۰/۰۰۰۵	۸۵/۴۳	۰/۲۵	۲۹۹۱	۱/۷۵	۲۰/۱۷	۸۰۳/۲۸	۱۱۷۳/۹۴
۵	طاغان	۴۴۴/۲	۱۴/۴۱	۱/۶۵	۴/۰۱	۰/۰۰۰۴	۱۵/۸۰	۰/۴۳	۲۵۴۱	۲/۲۶	۲۵/۱۴	۸۵۷/۲۵	۱۲۹۷/۴۱
۶	بار	۴۹۶/۳	۱۳/۸۵	۲/۳۵	۴/۹۱	۰/۰۰۰۴	۲۸/۴۶	۰/۴۹	۱۹۹۳	۱/۶۰	۱۷/۳۸	۴۶۲/۳۵	۱۰۵۵/۷۵
۷	فریزی	۱۱۴/۲	۱۳/۰۴	۲/۳۶	۴/۸۹	۰/۰۰۰۶	۸۹/۳۴	۱/۲۸	۵۴۹۳	۱/۸۶	۱۹/۴۰	۱۰۴۴/۵	۹۱۱/۷۲
۸	گلمک	۱۹۲/۳	۱۳	۱/۶۶	۲/۸۷	۰/۰۰۰۳	۹۰/۰۶	۰/۳۱	۷۲۳	۱/۵۳	۱۵/۴۹	۹۷۱/۸۶	۸۸۷/۱۹

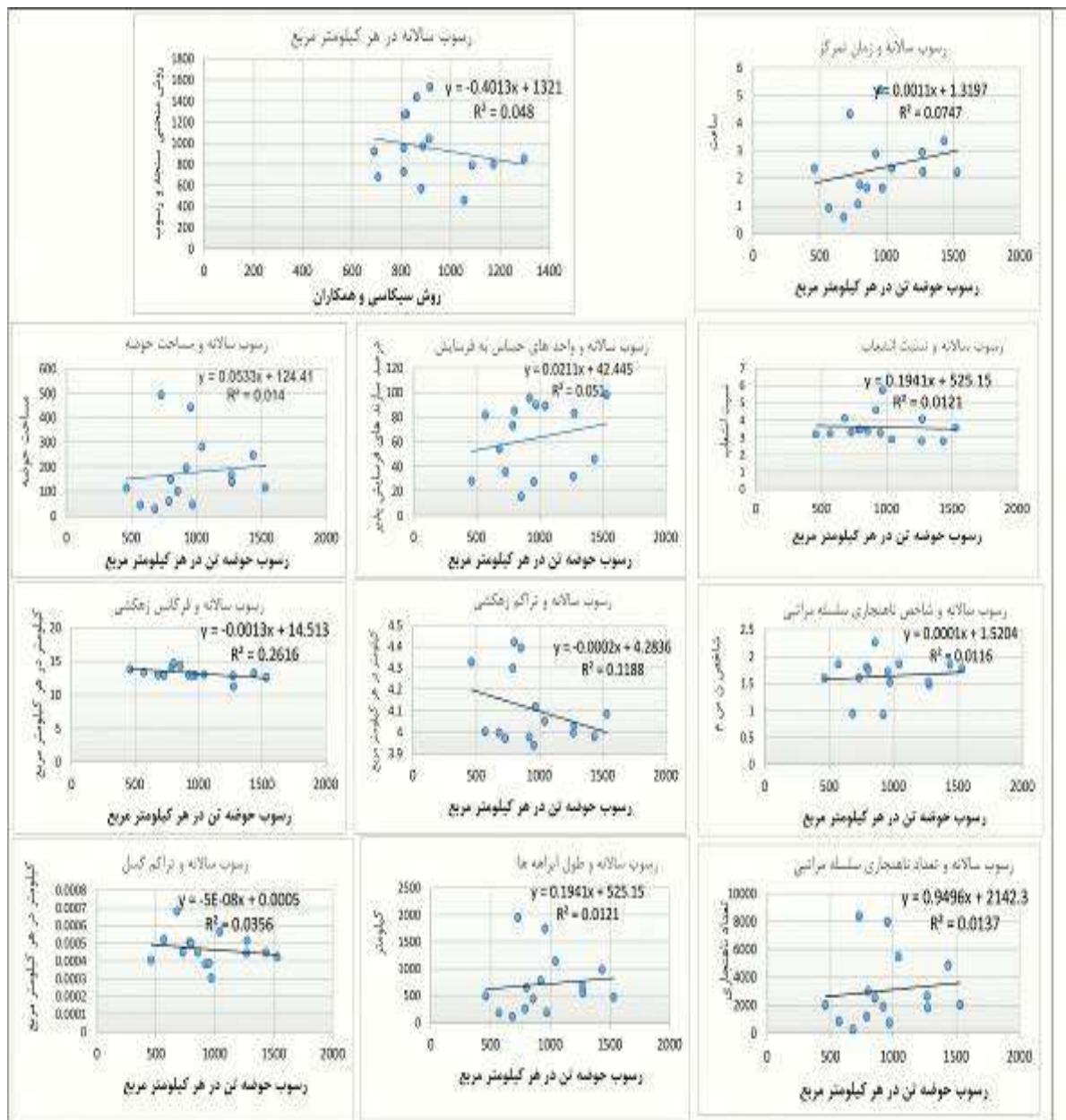
ادامه جدول ۶- محاسبه پارامترهای مورفومتری شبکه زهکشی و نرخ رسوب سالانه

Table 6- Calculation of morphometric parameters of drainage network and annual sedimentation rate

شماره	نام حوضه	طول آبراهه	فرکانس زهکشی	زمان تمرکز	بافت زهکشی	تراکم گسل‌ها	واحد‌های فرسایش پذیر	میانگین دبی سالیانه به M3/S	تعداد ناهنجاری	شاخص ناهنجاری	تراکم ناهنجاری	رسوب سالیانه
۹	شاندیز	۷۸۵/۴	۱۲/۹۸	۲/۸۷	۲۵/۸۷	۰/۰۰۰۴	۹۵/۴۷	۰/۵۱	۱۹۰۱	۰/۹۲	۹/۶۳	۶۹۰/۳
۱۰	طرقه	۴۷۲	۱۲/۶۴	۲/۲۰	۲۶/۴۵	۰/۰۰۰۴	۹۸/۷۳	۰/۲۱	۲۰۲۵	۱/۷۷	۱۷/۵۳	۹۱۶/۹۱
۱۱	طرق	۵۵۱/۴	۱۱/۳۴	۲/۲۴	۳۲/۹۸	۰/۰۰۰۵	۸۳/۵۶	۰/۳۷	۱۸۳۰	۱/۴۸	۱۳/۳۸	۸۲۱/۱۶
۱۲	کارده	۱۷۴۳/۹	۱۲/۹۳	۵/۱۹	۵۹/۵۵	۰/۰۰۰۴	۲۷/۸۱	۰/۵۴	۷۹۸۹	۱/۷۲	۱۸/۰۴	۸۰۹/۸۳
۱۳	اردک	۱۵۵۹/۳	۱۲/۹۷	۴/۳۱	۴۰/۴۶	۰/۰۰۰۴	۳۵/۸۷	۰/۹۴	۸۳۸۰	۱/۶۱	۱۶/۹۸	۸۰۹/۳۴
۱۴	رادکان	۹۸۷/۶	۱۳/۲۸	۳/۳۵	۳۷/۰۷	۰/۰۰۰۴	۴۶/۳۲	۰/۳۴	۴۸۸۵	۱/۸۵	۱۹/۶۷	۸۶۱/۴۷
۱۵	کلات	۶۶۹/۶	۱۲/۸۸	۲/۹۵	۴۸/۲۴	۰/۰۰۰۴	۳۲/۰۳	۰/۲۸	۲۶۴۵	۱/۵۴	۱۵/۷۹	۸۱۱/۲۲

طبق برآوردهای حاصل روش (Ciccacci et al (1985)، حوضه طاغان و میرآباد به ترتیب با ۱۲۹۷/۴۱ و ۱۱۷۳/۹۴ تن هر کیلومتر مربع بیشترین نرخ رسوب سالانه را داشته و حوضه‌های شاندیز و دیزباد با ۶۹۰/۳ و ۷۰۶/۲۹ تن در هر کیلومتر مربع کمترین نرخ رسوب سالانه را دارد. این در حالی است که نتایج حاصل از منحنی سنجه و رسوب منتج شده از داده‌های سازمان آب منطقه‌ای نشان می‌دهد حوضه‌های طرقه و رادکان به ترتیب با ۱۵۳۳/۰۵ و ۱۴۷۳/۰۷ تن و حوضه‌های بار و دررود به ترتیب با ۴۶۲/۳۵ و ۵۷۰/۹۶ تن در هر کیلومتر مربع رسوب سالانه دارند. محاسبات حوضه‌های واقع در جنوب شرق رشته کوه بینالود دارای رسوب کمتری نسبت سایر نقاط می‌باشند. محاسبات نشان می‌دهد حوضه‌های غربی دامنه جنوبی بینالود از رسوب بیش‌تری نسبت به حوضه‌های شرقی برخوردار است. رسوب سالیانه تمامی حوضه‌های دامنه شمالی بینالود در واحد سطح بالا است و هر چه به سمت شرق پیش می‌رویم رسوب حوضه‌ها بیش‌تر می‌باشد به نحوی که حوضه‌های شرقی مانند طرق و طرقه رسوب بیش‌تری نسبت به حوضه‌های غربی دارند. در رشته کوه هزارمسجد نیز حوضه‌های غربی چون رادکان و کلات، نرخ رسوب سالانه بیش‌تری نسبت به حوضه‌های شرقی دارند. در ادامه به منظور ارزیابی رابطه همبستگی بین پارامترهای ژئومورفومتری حوضه زهکشی و نرخ رسوب حوضه‌ها از رابطه خطی و ضریب همبستگی پیرسون استفاده شد. مطابق شکل (۶)، ابتدا رابطه همبستگی دو روش Ciccacci و همکاران (۱۹۸۷) و نرخ رسوب حاصل از منحنی سنجه و رسوب داده‌های سازمان آب منطقه‌ای مورد ارزیابی قرار گرفت. نتایج حاکی از این است که هیچ ارتباط معناداری بین نتایج روش Ciccacci et al (1985) و داده‌های حاصل از منحنی سنجه و رسوب وجود ندارد. با استفاده از تحلیل‌های آماری چون رابطه خطی (ضریب تعیین R2) و ضریب همبستگی پیرسون و معیار تصمیم (σ2) پارامتر نرخ رسوب سالانه در هر کیلومتر مربع از حوضه

به عنوان متغیر مستقل و شاخص‌های مورفومتری حوضه آبریز و شبکه زهکشی به عنوان متغیر وابسته رابطه همبستگی ایجاد و مقادیر مندرج در جدول (۶) به دست آمد.



شکل ۵: ضریب همبستگی پارامتر رسوب حوضه‌ها با سایر ویژگی مورفومتری حوضه (محاسبات نگارندگان ۱۳۹۵)

Figure 5: Correlation coefficient between basin sedimentation parameters with other morphometric characteristics

طبق محاسبات انجام شده بر روی حوضه‌های تحقیق مشخص شد شاخص‌های زمان تمرکز، درصد واحدهای فرسایش پذیر، مساحت حوضه‌ها، تعداد ناهنجاری سلسله مراتبی، طول آبراهه، ناهنجاری سلسله مراتبی به ترتیب با ۰/۲۷۴،

۰/۲۲۶، ۰/۱۱۸، ۰/۱۱۷ و ۰/۱۰۷ همبستگی ضعیفی با نرخ رسوب سالانه در واحد کیلومتر مربع دارند (جدول ۷). این در حالی است که شاخص‌های تراکم ناهنجاری سلسله مراتبی، نسبت انشعاب، بافت زهکشی، تراکم گسل، تراکم زهکشی و فرکانس زهکشی هیچ‌گونه رابطه‌ای با نرخ رسوب سالانه در حوضه‌های مورد مطالعه نداشته است.

جدول ۷- ماتریس همبستگی پیرسون بین میزان رسوب حوضه‌ها و شاخص‌های مورفومتری

Table 7- Pearson correlation matrix between basin sedimentation and morphometric indices

آماره	شاخص	علامت	معادله	ضریب تعیین	ضریب پیرسون	ضریب معناداری
	مساحت حوضه‌ها	A	$y = 0.0533x + 124.41$	۰/۰۱۴	۰/۱۱۸	۰/۶۷۴
	واحدهای فرسایش پذیر	E	$y = 0.0211x + 42.445$	۰/۰۵۱	۰/۲۲۶	۰/۴۱۸
	تراکم زهکشی	Dd	$y = -0.0002x + 4.2836$	۰/۱۱۹	-۰/۳۴	۰/۲۱۵
	فرکانس زهکشی	Fd	$y = -0.0013x + 14.513$	۰/۳۱۳	-۰/۵۱۲	۰/۰۵۱
	بافت زهکشی	T	$y = -0.0036x + 40.439$	۰/۰۱۵	-۰/۱۲۱	۰/۶۶۹
	تراکم گسل	Df	$y = -5E-08x + 0.0005$	۰/۰۳۱	-۰/۳۲۸	۰/۳۹۳
	طول آبراهه کیلومتر	L	$y = 0.1941x + 525.15$	۰/۰۱۲	۰/۱۱۰	۰/۶۹۷
	نسبت انشعاب	Rb	$y = 0.1941x + 525.15$	۰/۰۱۲۱	-۰/۰۷۲	۰/۸۰۰
	زمان تمرکز	Tc	$y = 0.0011x + 1.3197$	۰/۰۷۴۷	۰/۴۴۷	۰/۳۲۳
	تعداد ناهنجاری س مراتبی	Ha	$y = 0.9496x + 2142.3$	۰/۰۱۴	۰/۱۱۷	۰/۶۷۸
	شاخص ناهنجاری س مراتبی	Aa	$y = 0.0001x + 1.5204$	۰/۰۱۲	۰/۰۱۰۷	۰/۷۰۴
	تراکم ناهنجاری س مراتبی	Ga	$y = -0.0002x + 17.355$	۰/۰۰۳	-۰/۰۱۶	۰/۹۵۵

زمان تمرکز (Ts) به عنوان یک فاکتور هیدرولوژیکی ارتباط مستقیمی با سیلاب حوضه‌ها دارد و سیلاب نیز مهم‌ترین عامل افزایش فرسایش و رسوب در سطح حوضه است. در این تحقیق از روش Kirpich (1940) برای محاسبه زمان تمرکز در حوضه‌ها استفاده شد. این شاخص ارتباط مستقیمی با مساحت حوضه‌ها و منحنی CN در حوضه‌ها دارد لذا باعث افزایش نرخ رسوب سالانه حوضه‌ها می‌گردد. درصد سازندهای فرسایش پذیر (E) در حوضه‌ها ارتباط مستقیمی با نرخ فرسایش دارد. سازندهای قرمز بالایی، دلیچای، فلیت‌های سری میانه، سازندهای گچ و مارنی و سازندهای آبرفتی کواترنری جدید از جمله سازندهایی هستند که تاثیر مستقیمی در نرخ رسوب سالیانه حوضه‌ها دارند. طبق

محاسبات ناهنجاری سلسله مراتبی در شبکه زهکشی، عاملی تاثیر گذار در نرخ رسوب سالانه است. این عامل باعث تلاطم و آشفته‌گی هیدرولوژی شبکه زهکشی شده، افزایش فرسایش در بخش‌های کناری و محل اتصال شبکه زهکشی را سبب می‌شود.

### نتیجه‌گیری

پارامترهای ژئومورفومتری شبکه زهکشی از مهم‌ترین عوامل تاثیر گذار بر نرخ رسوب حوضه‌ها می‌باشد. به منظور ارزیابی این فرض در این تحقیق، ۱۵ ایستگاه در منطقه شمال‌شرق کشور انتخاب و حوضه‌های بالادست آن‌ها ترسیم و مشخصات کلی حوضه‌ها و پارامترهای مورفومتری شبکه زهکشی که می‌تواند در نرخ رسوب حوضه‌ها تاثیر داشته باشند معرفی و محاسبه شد. سپس از روش Ciccacci, et al (1987) که اساس آن بر پایه مشخصات مورفومتری حوضه است نرخ رسوب سالانه برای حوضه‌های تحقیق برآورد شد. طبق محاسبات بیش‌ترین نرخ رسوب سالانه مربوط به حوضه‌های ارداک و کارده به ترتیب با  $399315/5$  و  $358093/6$  می‌باشد و حوضه‌های دیزباد و دررود به ترتیب با  $20472/9$  و  $39438/8$  تن در سال دارای کم‌ترین نرخ رسوب سالانه می‌باشند. مهم‌ترین مرحله در هر تحقیق علمی اعتبارسنجی مدل‌های پیشنهادی در تحقیق است. بدین منظور از آمار رسوب سازمان آب منطقه‌ای خراسان رضوی استفاده شد. داده‌های رسوب حوضه‌ها دسته‌بندی و پس از پردازش، داده‌های دارای خطا شناسایی و تصحیح شدند. با توجه به این‌که داده‌های برداشت شده از رسوب با روش نمونه‌برداری روزانه است لذا با استفاده از نسبت رسوب به دبی و همچنین استفاده از آمار دبی ماهیانه این ایستگاه‌ها، میزان رسوب سالیانه هر یک از ایستگاه‌های تحقیق محاسبه شد. طبق محاسبات هیچ ارتباط معناداری بین نتایج روش Ciccacci et al (1985) و داده‌های حاصل از منحنی سنجه و رسوب وجود ندارد. در نتیجه نتایج حاصل از روش Ciccacci et al نشان‌دهنده مقادیر واقعی رسوب سالیانه نمی‌باشد و عوامل دیگری از جمله: میزان بارش سالانه، شدت بارش، وضعیت خاک و کاربری در نرخ رسوب سالیانه این حوضه‌ها نقش دارند که در این روش لحاظ نشده است. در ادامه تحقیق با استفاده ضریب تعیین تعدیل شده ( $R^2$ ) و ضریب همبستگی پیرسون، ارتباط هر یک پارامترهای کمی شبکه زهکشی و نرخ رسوب سالیانه حوضه محاسبه و مورد تحلیل قرار گرفت. از نتایج روش منحنی سنجه و رسوب به دست آمده از داده‌های واقعی سازمان آب منطقه‌ای خراسان رضوی بر حسب تن در هر کیلومتر مربع در سال، به عنوان مبنای محاسبه همبستگی بین پارامترها و نرخ رسوب سالانه استفاده شد. طبق محاسبات انجام شده مشخص شد شاخص‌های زمان تمرکز، درصد واحدهای فرسایش پذیر، مساحت حوضه‌ها، تعداد ناهنجاری سلسله مراتبی، طول آبراهه، ناهنجاری سلسله مراتبی به ترتیب با  $0/226$ ،  $0/118$ ،  $0/117$  و  $0/107$  دارای همبستگی بسیار کم و ضعیف با نرخ رسوب سالانه در واحد کیلومتر مربع می‌باشند. این در حالی است که شاخص‌های تراکم ناهنجاری سلسله مراتبی، نسبت انشعاب، بافت زهکشی، تراکم گسل، تراکم زهکشی و فرکانس زهکشی هیچ‌گونه رابطه‌ای با نرخ رسوب سالانه در حوضه‌های مورد مطالعه نداشته است. در نتیجه در حوضه‌های تحقیق عوامل دیگری همچون کمیت و کیفیت بارش، وضعیت خاک و پوشش گیاهی و کاربری ارضی و مهم‌تر از همه نرخ فرسایش خندقی تاثیرگذار است. طبق تحقیقات صورت گرفته، یکی از مهم‌ترین

عوامل افزایش نرخ رسوب در حوضه‌ها گالی‌ها می‌باشد که اگر این عارضه فرسایشی با فرآیندهای تخریبی حاصل از بارش‌های سیلابی همراه گردد می‌تواند نرخ رسوب حوضه‌ها را به شدت افزایش دهد. با توجه به وجود رسوبات سست همچون لس، مارن و رس مربوط به اواخر سنوزوئیک و کواترنر در برخی از حوضه‌های تحقیق، تاثیر این عامل بسیار مهم چشم‌گیر می‌باشد. هرچند بحث فرسایش و رسوب در سطح حوضه‌ها از پیچیده‌ترین و حساس‌ترین مباحث پیش روی پژوهشگران است اما می‌توان با ارایه یک مدل جامع و بومی از منطقه نرخ رسوب سالانه را به دقت محاسبه نمود. نتایج این تحقیق نشان می‌دهد که اگر چه عوامل مورفومتری شبکه زهکشی می‌تواند تاثیر فراوانی بر روی نرخ رسوب سالانه حوضه‌ها داشته باشد اما این عوامل برای یک برآورد دقیق از نرخ رسوب سالانه کافی و مناسب نیست، لذا نیازمند یک مدل دقیق و منطقی هستیم که علاوه بر بررسی عوامل مورفومتری حوضه آبریز، عوامل اقلیمی، هیدرولوژیکی، انسانی و فنولوژیکی حاکم بر حوضه‌های آبریز نیز بررسی و مورد ارزیابی قرار گیرند. لذا نتایج حاصل از روش Ciccacci et al نشان‌دهنده مقادیر واقعی رسوب سالانه نمی‌باشد و عوامل متعدد دیگری در نرخ رسوب سالانه این حوضه‌ها مانند نرخ بارش سالانه، شدت بارش، وضعیت خاک و کاربری اراضی در نرخ رسوب سالانه نقش دارند که در این روش لحاظ نشده است. این قبیل مطالعات می‌تواند با درک روابط همبستگی بین پارامترهای اصلی حوضه آبریز و فرآیندهای ژئومورفیک موثر در آن‌ها، میزان نرخ رسوب سالانه حوضه‌ها را تعیین و روند تکامل حوضه‌ها را تعیین نماید. همچنین با معرفی عوامل تاثیرگذار در افزایش نرخ رسوب سالانه راهنمای مناسبی در تدوین خط و مشی برنامه‌های حفاظت آب‌و خاک باشد.



شکل ۶: تصویر A- شخم زدن دامنه در راستای شیب زمین و تشدید فرسایش، تصویر B- عملیات راه‌سازی باعث فرسایش دامنه (حوضه آبریز طرق)، تصویر C- افزایش بار رسوب معلق رودخانه طرق در اثر رگبارهای بهاری، تصویر D- توالی سازندهای زمین‌شناسی در مسیر رودخانه میرآباد تصویر E- ایستگاه هیدرومتری حوضه بار.

Figure 6: Image A- Plowing the slope in the direction of gradient and exacerbating erosion, Image B- Road construction causes erosion of the slope (Torogh basin), Image C- Increased sediment load of the river by the spring rainfall, Picture D- Geological formation sequence on the Meadrabad river direction, Image E- Hydrometric station in Bar basin.

## References

- Ahmadi, H., Jafari, M., Golkarian, A., Abrisham, E., Laflen, J., (2007), "Estimating water erosion and sediment using WEPP model (Case study of Bar-Erieh watershed, Neyshabur)", *Pajouhesh & Sazandegi*, 75: 161-172. [In Persian].
- Aksoy, A., Kavvas, M., (2005), "A review of hillslope and watershed scale erosion and sediment transport models", *Catena*, 64: 247-271.
- Alaei Taleghani, M., (2009), "*Geomorphology of Iran*", Tehran: Ghomes publication. [In Persian].
- Alexander, GN., (1972), "Effect of catchment area on flood magnitude", *Journal of Hydrology*, 16 (3): 225-240.
- Alizadeh, A., (2013), "*The principles of applied hydrology*", 36th Edition, Imam Reza publication: Mashhad. [In Persian].
- Avena, G. C., Giuliano, G., Lupia Palmieri, E., (1967), "Sulla valutazione quantitativa della gerarchizzazione ed evoluzione dei reticoli fluviali", *Bollettino della Societa Geologica Italiana*, 86: 81-796.
- Bahrami, Sh., (2013), "Analyzing the drainage system anomaly of Zagros basins: Implications for active tectonics", *Tectonophysics*, 608: 914-928.
- Bahrami, Sh., Abkari, E., Motamedi Rad, M., (2015), "Geometry analysis of drainage basins by means of tectonic geomorphology indicators (Case study: Sadkharv, Kalateh-Sadat, Farub-Ruman and Gelian catchments)", *Journal of geographical space*, 14 (48): 199-222. [In Persian].
- Baroni, C., Noti, V., Ciccacci, S., Righini, G., Salvatore, M. C., (2005), "Fluvial origin of the valley system in northern Victoria Land (Antarctica) from quantitative geomorphic analysis", *GSA Bulletin*, 117: 212-228
- Bomeri, M., Nahtanifar, A. B., Radfar, Sh., Mahdavi, A., (2011), "Identification of flood plains and physiographic and quantitative features of diving basin using GIS and remote sensing", *Geography And Development Iranian Journal*, 9 (22): 129-14. [In Persian].
- Chorley, R. J., (1969), "The drainage basin as the fundamental geomorphic unit', a synthesis of hydrology, geomorphology and socio-economic geography", *Methue Methuen*, 26: 77-9
- Ciccacci, S., Fredi. P., Palmieri, E. L., Pugliese, F., (1986), "Indirect evaluation of erosion entity in drainage basins through geomorphic, climatic and hydrological parameters". Gardiner, V. (Ed.), *International Geomorphology Part II. John Wiley & Sons Ltd*, Chichester, pp 33-48
- Darabi, H., Solaimani, K., Shahedi, K., Miryaghubzadeh4, M., (2013), "Sub-watersheds classification based on morphometric parameters using cluster analysis in Pol-Doab Shazand watershed", *Water and Soil Science*, 22 (4): 199-211. [In Persian].
- DiBiase, R. A., Kelin, X., Whipple, A., Arjun, M., Heimsath, A., William, B., Ouimet, B., (2010), "Landscape form and millennial erosion rates in the San Gabriel Mountains", *CA Earth and Planetary Science Letters*, 289: 134-144.
- Fathizad, H., Karimi, A., Tavakoli, M., (2016), "Role of sensitivity of erosion the geological formations at erosion rate and sediment yield (Case study: Sub-basins of Doviraj river, Ilam province)", *Journal of Watershed Management Research*, 7 (13): 208-193. [In Persian].
- Goudie, A., (2004), "*Encyclopedia of geomorphology*," vol 2, Internatinal association of Geomorphology: London.
- Guarnieri, P., Pirrotta, C., (2008), "The response of drainage basins to the late quaternary tectonics in the Sicilian side of the Messina Strait (NE Sicily)", *Geomorphology*, 95: 260-273.

- Gupta, V., Waymire, E., Wang, C., (1980), "A representation of an instantaneous unit hydrograph from geo- morphology", *Journal of Water Resource*, 16: 855-862.
- Hakimkhani, Sh., Arab Khedri, M., (2006), "Regression analysis between suspended sediment and hydrogeomorphometric characteristics of Lake Urmia Basin", *Agricultural Science Journal*, 4 (17): 223-231. [In Persian].
- Harlin, J. M., (1984), "Watershed morphometry and time to hydrograph peak", *Journal of Hydrology*, 67: 141-154.
- Horton, R. E., (1932), "*Drainage basin characteristics*", American Geophysical Union: Washington, DC.
- Hosseinzadeh, S. R., Jahadi, T. M., (2010), "Assessing the quality and accuracy of drainage morphometric analyses of drainage networks extracted from digital elevation models: A case study on Robate Gharebil catchment in Northern Khorasan", *Geography and Regional Development*, 8 (14): 183 -212. [In Persian].
- Hurtrez, J. E., Lucazeau, F., Lavé, J., Avouac, J. P., (1999), "Investigation of the relationships between basin morphology, tectonic uplift, and denudation from the study of an active fold belt in the Siwalik Hills, central Nepal", *Journal of Geophysical Research*, 104:12779-12796.
- Iran Water Resource Management Company (IWRMC), (2008), "*Data base of Iran Water Resources KhorasanRazavi Province*", Tehran. [In Persian].
- IRIMO, (2017), "*Meteorological organization country*", Tehran. [In Persian].
- Jokarsarhangi, E., AmirAhmadi, A., Nikzad, E., (2009), "Modeling the flood estimation of the northern sub-areas of Alborz mountains using quantitative geomorphology and morphometric properties and using the geographic information system", *Journal of Geography and Planning*. 14(29):162-141. [In Persian].
- Keller, E. A., (1986), "Investigation of active tectonics: Use of surficial earth processes", *Active tectonics*, 136-147.
- Leopold, L. B., Langbein, W. B., (1962), "The concept of entropy in landscap evolution", *US Geological Survey Professional Paper*, 1: 1-26.
- Leopold, L. B., Wolman, M. G., (1957), "River channel patterns: Braided, meandering and straight", *US Geological Survey Profcssional Papcr*, 282: 39-85.
- Miller, J. P., (1958), "*High mountain streams: Effects of geology on channel characteristics and bed material*", New mexico: State Bureau of mines and minral resource.
- Montgomery, D. R., Brandon, M.T., (2002), "Topographic controls on erosion rates in tectonically active mountain ranges", *Earth Planet, Sci. Lett*, 201:481-489.
- Onagh, M., Nahtani, M., (2004), "Relationship between geomorphologic units and erosion and sediment production in Gorganrood Kashidar watershed", *Journal of Agricultural Sciences and Natural Resources*, 11 (1): 157-170. [In Persian].
- Rangzan, K., Zarasvandi, A., Heydari, A., (2008), "Comparison of EPM and MPSIAC models in gis & rs for erosion and sediment yield assessment of the Pegah-Sorkh basin, Gotvand area, Khuzestan province, Iran", *Physical Geography Research Quarterly*, 40 (64): 123-136. [In Persian].
- Restrepo, J. D., Kjerfve, B., Hermelin, M., (2006), "Factors controlling sediment yield in a major South American drainage basin: The Magdalena river, Colombia", *Journal of Hydrology*, 316 (1): 213-232.
- Schumm, SA., (1963), "Sinuosity of alluvial rivers on the great plains", *Bulletin of the Geological Society of America*, 74: 1089-1100.

- Kirpich, Z. P., (1940), "Time of concentration of small agricultural watersheds", *Civil Engineering*, 6: 362- 1940.
- Seta, M. D., Monte, M. D., Fredi, P., Palmieri, E. L., (2007), "Direct and indirect evaluation of denudation rates in Central Italy", *Catena* 71:21-30.
- Shabaniyan, E., Bellier, O., Siame, L., Abbassi, MR., Bourlès, D., Braucher, R., Farbod, Y., (2012), "The Binalud mountains: A key piece for the geodynamic puzzle of NE Iran", *Tectonics*, 31: 280-304.
- Sharijafari, M., Ghyomiyan, J., (2005), "Relationship and correlation study between sedimentation with slope failure and land drain in central Taleghan basin", *Geosciences Researches Journal*, 14 (55): 90-97. [In Persian].
- Strahler, A. N., (1957), "Quantitative analysis of watershed geomorphology", *Transactions American Geophysical union*, 38 (6): 913-920.
- Strahler, A. N., (1964), "Quantitative geomorphology of drainage basins and channel networks", In: McGraw, H., (ed) , *Handbook of Applied Hydrology*, Book Company, New York, pp 222-242.
- Suresh, M., Sudhakar, S., Tiwari, K. N., Chowdary, V. M., (2004), "Prioritization of watersheds morphometric parameters and assessment of surface water potential using remote Sensing", *Journal of the Indian Society of remote sensing*, 3: 249-259
- Tuset, J. D., Vericata, B., Batallaa, R., (2016), "Rainfall, runoff and sediment transport in a Mediterranean mountainous catchment", *Journal of Science of The Total Environment*, 540 (1): 114-132.
- Vanoni, V. A., (1975), "*Sedimentation engineering*", Manuals & Reports on Engineering Practice, American Society of Civil Engineers: New York, USA.
- Walling, D. E., (2017), "*Measuring sediment yield from river basins*", In Soil erosion research methods", New York: Routledge.
- Zhang, H.Y., Shi, Z. H., Fanga, N. F., Guoa, M. H., (2015), "Linking watershed geomorphic characteristics to sediment yield: Evidence from the loess plateau of China", *Geomorphology*, 234: 19-27.